

# برقی آلات

خالد خان یوسفزئی

جامعہ کامیٹ، اسلام آباد

khalidyoufazai@comsats.edu.pk

تاریخ درستی: 12 مئی 2020

# عنوان

ix

دیباچہ

1	بنیادی حقائق	1
1	1.1 بنیادی اکائیاں	1
1	1.2 غیر سمتی	1
2	1.3 سمتیہ	2
3	1.4 محدود	3
3	1.4.1 کارتیسی محدودی نظام	3
5	1.4.2 تکلی محدودی نظام	5
7	1.5 سمتیہ رقبہ	7
9	1.6 رقبہ عمودی تراش	9
10	1.7 برقی اور مقناطیسی میدان	10
10	1.7.1 برقی میدان اور برقی میدان کی شدت	10
11	1.7.2 مقناطیسی میدان اور مقناطیسی میدان کی شدت	11

11	سطحی اور حجمی کشافت	1.8
11	سطحی کشافت	1.8.1
12	حجمی کشافت	1.9
13	صلیبی ضرب اور ضرب نقطہ	1.10
13	صلیبی ضرب	1.10.1
15	نقطی ضرب	1.10.2
18	تفرق اور جزوی تفرق	1.11
18	خطی مکمل	1.12
19	سطحی مکمل	1.13
20	دوری سمتیہ	1.14
25	مقناطیسی ادوار	2
25	مزامت اور پنکچا ہٹ	2.1
26	کشافتِ برقی رد اور برقی میدان کی شدت	2.2
28	برقی ادوار	2.3
30	مقناطیسی دور حصہ اول	2.4
32	کشافتِ مقناطیسی بہا اور مقناطیسی میدان کی شدت	2.5
34	مقناطیسی دور حصہ دوم	2.6
38	خود امالہ، مشترکہ امالہ اور توانائی	2.7
45	مقناطیسی مادہ کے خواص	2.8
49	بیجان شدہ لچھا	2.9

55	3	ٹرانسفارمر
56	3.1	ٹرانسفارمر کی اہمیت
59	3.2	ٹرانسفارمر کے اقسام
59	3.3	امالی برقی دباؤ
61	3.4	ہیجان انگیز برقی رد اور قابلی ضیاع
64	3.5	تبادلہ برقی دباؤ اور تبادلہ برقی رو کے خواص
68	3.6	ثانوی جانب بوجھ کا ابتدائی جانب اثر
69	3.7	ٹرانسفارمر کی علامت پر نقطوں کا مطلب
70	3.8	رکاوٹ کا تبادلہ
75	3.9	ٹرانسفارمر کا وولٹ-کمپیئر
77	3.10	ٹرانسفارمر کے امالہ اور مساوی ادوار
77	3.10.1	لچھے کی مزاحمت اور اس کی متعاملہ علیحدہ کرنا
79	3.10.2	رستا امالہ
80	3.10.3	ثانوی برقی رد اور قالب کے اثرات
81	3.10.4	ثانوی لچھے کا امالی برقی دباؤ
81	3.10.5	ثانوی لچھے کی مزاحمت اور متعاملہ کے اثرات
83	3.10.6	رکاوٹ کا ابتدائی یا ثانوی جانب تبادلہ
85	3.10.7	ٹرانسفارمر کے سادہ ترین مساوی ادوار
86	3.11	کھلے دور معائنہ اور کسر دور معائنہ
87	3.11.1	کھلا دور معائنہ
89	3.11.2	کسر دور معائنہ
93	3.12	تین دوری ٹرانسفارمر
101	3.13	ٹرانسفارمر چالو کرتے لمحہ زیادہ محرکی برقی رو کا گزر

103	4	برقی اور میکانی توانائی کا باہمی تبادلہ
103	4.1	مقناطیسی نظام میں قوت اور قوت مروڑ . . . . .
109	4.2	تبادلہ توانائی والا ایک لچھے کا نظام . . . . .
115	4.3	توانائی اور ہم-توانائی . . . . .
119	4.4	متعدد لچھوں کا مقناطیسی نظام . . . . .
129	5	گھومتے مشین کے بنیادی اصول
129	5.1	قانون فیراڈے . . . . .
130	5.2	معاصر مشین . . . . .
141	5.3	محرک برقی دباؤ . . . . .
144	5.4	پچیلے لچھے اور سائن نما مقناطیسی دباؤ . . . . .
146	5.4.1	بدلتارو مشین . . . . .
155	5.5	مقناطیسی دباؤ کی گھومتی امواج . . . . .
155	5.5.1	ایک دور کی لپٹی مشین . . . . .
156	5.5.2	تین دور کی لپٹی مشین کا تحلیلی تجزیہ . . . . .
161	5.5.3	تین دور کی لپٹی مشین کا ترسیبی تجزیہ . . . . .
164	5.6	محرک برقی دباؤ . . . . .
165	5.6.1	بدلتارو برقی جزیئر . . . . .
170	5.6.2	یک سمت رو برقی جزیئر . . . . .
170	5.7	ہموار قطب مشینوں میں قوت مروڑ . . . . .
171	5.7.1	میکانی قوت مروڑ بذریعہ ترکیب توانائی . . . . .
173	5.7.2	میکانی قوت مروڑ بذریعہ مقناطیسی بہاؤ . . . . .

179	6 یکساں حال، برقرار چالو معاصر مشین
180	6.1 متعدد دوری معاصر مشین . . . . .
183	6.2 معاصر مشین کے امالہ . . . . .
184	6.2.1 خود امالہ . . . . .
185	6.2.2 مشترکہ امالہ . . . . .
187	6.2.3 معاصر امالہ . . . . .
189	6.3 معاصر مشین کا مساوی دور یا ریاضی نمونہ . . . . .
191	6.4 برقی طاقت کی منتقلی . . . . .
195	6.5 یکساں حال، برقرار چالو مشین کے خواص . . . . .
195	6.5.1 معاصر جزیر: برقی بوجھ بالقابل $I_m$ کے خط . . . . .
196	6.5.2 معاصر موٹر: $I_a$ بالقابل $I_m$ کے خط . . . . .
199	6.6 کھلا دور اور کسر دور معائنہ . . . . .
199	6.6.1 کھلا دور معائنہ . . . . .
200	6.6.2 کسر دور معائنہ . . . . .

- 7.1 ساکن لچھوں کی گھومتی مقناطیسی موج . . . . . 212
- 7.2 مشین کا سر کا داور گھومتی امواج پر تبصرہ . . . . . 212
- 7.3 ساکن لچھوں میں امالی برقی دباؤ . . . . . 215
- 7.4 ساکن لچھوں کی موج کا گھومتے لچھوں کے ساتھ اضافی رفتار اور ان میں پیدا امالی برقی دباؤ . . . . . 215
- 7.5 گھومتے لچھوں کی گھومتی مقناطیسی دباؤ کی موج . . . . . 219
- 7.6 گھومتے لچھوں کے مساوی فرضی ساکن لچھے . . . . . 220
- 7.7 امالی موٹر کا مساوی برقی دور . . . . . 221
- 7.8 مساوی برقی دور پر غور . . . . . 226
- 7.9 امالی موٹر کا مساوی تھون دور یا ریاضی نمونہ . . . . . 230
- 7.10 پنجرہ نما امالی موٹر . . . . . 236
- 7.11 بے بوجھ موٹر اور جامد موٹر کے معائنہ . . . . . 237
- 7.11.1 بے بوجھ موٹر کا معائنہ . . . . . 237
- 7.11.2 جامد موٹر کا معائنہ . . . . . 239

- 8.1 میکانی سمت کار کی بنیادی کارکردگی . . . . . 245
- 8.1.1 میکانی سمت کار کی تفصیل . . . . . 247
- 8.2 یک سمت جزیرہ کار برقی دباؤ . . . . . 252
- 8.3 قوت مروڑ . . . . . 254
- 8.4 بیرونی پیمان اور خود پیمان یک سمت جزیرہ . . . . . 255
- 8.5 یک سمت مشین کی کارکردگی کے خط . . . . . 260
- 8.5.1 حاصل برقی دباؤ بالمتقابل برقی بوجھ . . . . . 260
- 8.5.2 رفتار بالمتقابل قوت مروڑ . . . . . 262





## باب 5

### گھومتے مشین کے بنیادی اصول

اس باب میں مختلف گھومتے مشینوں کے بنیادی اصولوں پر غور کیا جائے گا۔ ظاہری طور پر مختلف مشین ایک ہی قسم کے اصولوں پر کام کرتے ہیں جنہیں اس باب میں اکٹھا کیا گیا ہے۔

#### 5.1 قانون فیراڈے

قانون فیراڈے<sup>1</sup> کے تحت جب بھی کسی لچھے کا ارتباط بہاؤ  $\lambda$  وقت کے ساتھ تبدیل ہو، اس لچھے میں برقی دباؤ پیدا ہو گا:

$$e = \frac{\partial \lambda}{\partial t} = N \frac{\partial \phi}{\partial t} \quad (5.1)$$

گھومتے مشین میں ارتباط بہاؤ کی تبدیلی مختلف طریقوں سے پیدا کی جاسکتی ہے۔ مثلاً لچھے کو ساکن مقناطیسی بہاؤ میں گھما کر یا ساکن لچھے میں مقناطیس گھما کر، وغیرہ وغیرہ۔

---

Faraday's law<sup>1</sup>

ان برقی مشینوں میں لچھے مقناطیسی قالب<sup>2</sup> پر لپیٹے جاتے ہیں۔ اس طرح کم سے کم مقناطیسی دباؤ سے زیادہ سے زیادہ مقناطیسی بہاو حاصل کیا جاتا ہے اور لچھوں کے مابین مشترکہ مقناطیسی بہاو بڑھایا جاتا ہے۔ مزید قالب کی شکل تبدیل کر کے مقناطیسی بہاو کو ضرورت کے مقام پر پہنچایا جاتا ہے۔

ان مشینوں کے قالب میں مقناطیسی بہاو وقت کے ساتھ تبدیل ہوتا ہے لہذا قالب میں بھنور نما برقی رو<sup>3</sup> پیدا ہوتا ہے۔ ان بھنور نما برقی رو کو کم سے کم کرنے کی خاطر باریک لوہے کی پتري<sup>4</sup> تہہ در تہہ رکھ قالب بنایا جاتا ہے۔ آپ کو یاد ہو گا، ٹرانسفارمر کا قالب بھی اسی طرح بنایا جاتا ہے۔

## 5.2 معاصر مشین

شکل 5.1 میں معاصر برقی جنریٹر کا ایک بنیادی شکل دکھایا گیا ہے جس کے قالب میں ایک مقناطیس ہے جو کہ گھوم سکتا ہے۔ میکانی زاویہ  $\theta_m$  مقناطیس کا مقام دیتا ہے۔ افقی لکیر سے خلاف گھڑی زاویہ  $\theta_m$  ناپا جاتا ہے۔

یہاں کچھ باتیں وضاحت طلب ہیں۔ اگر مقناطیس ایک مقررہ رفتار سے، فی سیکنڈ  $n$  مکمل چکر کاٹتا ہو تب ہم کہتے ہیں کہ اس مقناطیس کے گھومنے کا تعدد  $n$  ہرٹز<sup>5</sup> ہے۔ اسی بات کو یوں بھی بیان کیا جاتا ہے کہ مقناطیس  $60n$  چکر فی منٹ<sup>6</sup> کی رفتار سے گھوم رہا ہے۔ آپ جانتے ہیں کہ ایک چکر  $360^\circ$  زاویہ یا  $2\pi$  ریڈیئن<sup>7</sup> پر مشتمل ہوتا ہے لہذا گھومنے کی اس رفتار کو  $2\pi n$  ریڈیئن فی سیکنڈ بھی کہہ سکتے ہیں۔ یوں اگر مقناطیس  $f$  ہرٹز کی رفتار سے گھوم رہا ہو تب یہ  $2\pi f$  ریڈیئن فی سیکنڈ کی رفتار سے گھومے گا جس کو  $\omega$  سے ظاہر کیا جاتا ہے۔

$$(5.2) \quad \omega = 2\pi f$$

اس کتاب میں گھومنے کی رفتار کو عموماً ریڈیئن فی سیکنڈ میں بیان کیا جائے گا۔

شکل 5.1 میں مشین کے دو مقناطیسی قطب ہیں، اس لئے اس کو دو قطبی مشین کہتے ہیں۔ ساکن قالب میں، اندر کی جانب دو شکاف ہیں، جن میں  $N$  چکر کا لچھا موجود ہے۔ لچھے کو  $a$  اور  $a'$  سے ظاہر کیا گیا ہے۔ اس لچھے کی بنا

<sup>2</sup>magnetic core

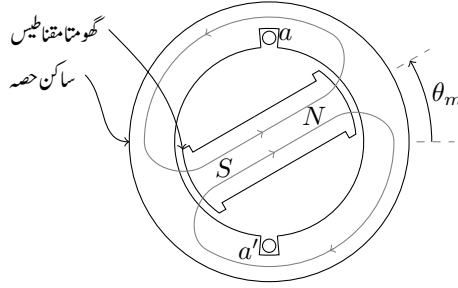
<sup>3</sup>eddy currents

<sup>4</sup>laminations

<sup>5</sup>Hertz

<sup>6</sup>rounds per minute, rpm

<sup>7</sup>radians



شکل 5.1: دو قطب، یک دوری معاصر جزیئر۔

اس مشین کو ایک لچھے کا مشین بھی کہتے ہیں۔ چونکہ یہ لچھا جزیئر کے ساکن حصہ پر پایا جاتا ہے لہذا یہ لچھا بھی ساکن ہو گا جس کی بنا اسے ساکن لچھا<sup>8</sup> کہتے ہیں۔

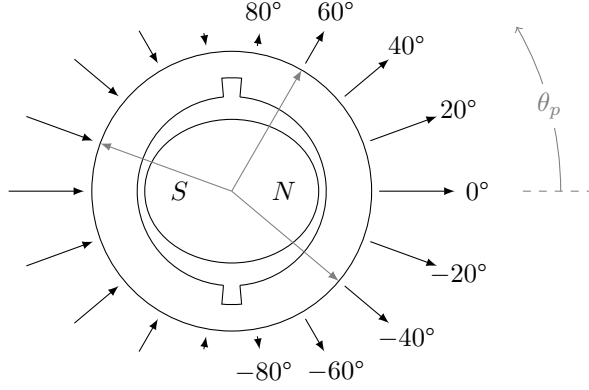
مقناطیس کا مقناطیسی بہاؤ شمالی قطب<sup>9</sup> N سے خارج ہو کر خلائی درز میں سے ہوتا ہوا، باہر گول قالب میں سے گزر کر، دوسرے خلائی درز میں سے ہوتا ہوا، مقناطیس کے جنوبی قطب<sup>10</sup> S میں داخل ہو گا۔ اس مقناطیسی بہاؤ کو ہلکی سیاہی کے لکیروں سے دکھایا گیا ہے۔ یہ مقناطیسی بہاؤ، سارا کا سارا، ساکن لچھے میں سے بھی گزرتا ہے۔ شکل 5.1 میں مقناطیس سیدھی سلاح کی مانند دکھایا گیا ہے۔

شکل 5.2 میں مقناطیس تقریباً گول ہے اور اس کے محور کا زاویہ  $\theta_m$  صفر کے برابر ہے۔ مقناطیس اور ساکن قالب کے بیچ صفر زاویہ،  $\theta = 0^\circ$ ، پر خلائی درز کی لمبائی کم سے کم اور نوے زاویہ،  $\theta = 90^\circ$ ، پر زیادہ سے زیادہ ہے۔ کم خلائی درز پر ہچکچاہٹ کم ہو گی جبکہ زیادہ خلائی درز پر ہچکچاہٹ زیادہ ہو گی لہذا  $\theta = 0^\circ$  پر خلائی درز سے زیادہ مقناطیسی بہاؤ گزرے گا جبکہ  $\theta = 90^\circ$  پر کم بہاؤ گزرے گا۔ خلائی درز کی لمبائی یوں تبدیل کی جاتی ہے کہ خلائی درز میں سائن نما مقناطیسی بہاؤ پیدا ہو۔ مقناطیسی بہاؤ مقناطیس سے قالب میں عمودی زاویہ پر داخل ہوتا ہے۔ اگر خلائی درز میں B سائن نما ہو

$$(5.3) \quad B = B_0 \cos \theta_p$$

تب کثافت مقناطیسی بہاؤ B صفر زاویہ  $\theta_p = 0^\circ$  پر زیادہ سے زیادہ اور نوے زاویہ،  $\theta_p = 90^\circ$ ، پر صفر ہو گی اور خلائی درز میں مقناطیسی بہاؤ  $\theta_p$  کے ساتھ تبدیل ہو گا۔  $\theta_p$  کو مقناطیس کے شمالی قطب سے گھڑی کے مخالف

stator coil<sup>8</sup>  
north pole<sup>9</sup>  
south pole<sup>10</sup>



شکل 5.2: کثافتِ مقناطیسی بہاؤ اور زاویہ کا تبدیلی۔

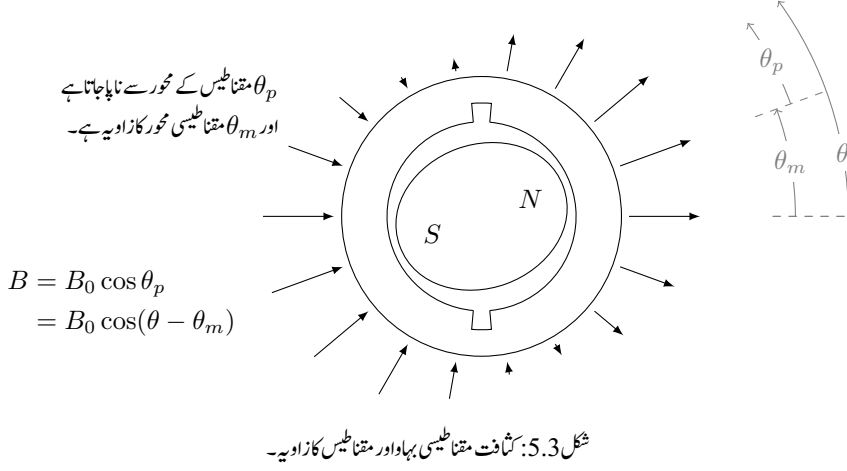
رخ ناپا جاتا ہے۔ شکل 5.2 میں ساکن حصے کے باہر نوکیلی لکیروں کی لمبائی سے کثافتِ مقناطیسی بہاؤ کی مطلق قیمت اور لکیروں کے رخ سے بہاؤ کا رخ دکھایا گیا ہے۔ اس شکل میں ہلکی سیاہی سے  $40^\circ$ ،  $60^\circ$  اور  $160^\circ$  زاویوں پر رداسی رخ دکھایا گیا ہے۔ زاویات  $40^\circ$  اور  $60^\circ$  پر مقناطیسی بہاؤ رداسی رخ جبکہ  $160^\circ$  پر مقناطیسی بہاؤ رداسی رخ کے مخالف ہے۔ یوں شکل 5.2 میں آدھے درز میں کثافتِ مقناطیسی بہاؤ رداسی رخ جبکہ باقی آدھے میں مخالف رداسی رخ ہو گا۔ خلائی درز میں کثافتِ مقناطیسی بہاؤ  $B$  اور  $\theta_p$  کا ترسیم سائن نما ہو گا۔ شکل 5.3 میں مقناطیس دوسرے زاویہ پر دکھایا گیا ہے۔ یاد رہے کثافتِ مقناطیسی بہاؤ کی مطلق قیمت مقناطیس کے شمالی قطب پر زیادہ سے زیادہ ہو گی اور شمالی قطب پر کثافتِ مقناطیسی بہاؤ رداسی رخ ہو گی۔ شکل 5.3 میں خلائی درز میں کثافتِ مقناطیسی بہاؤ  $B$ ، زاویے  $\theta_p$  اور  $\theta_m$  دکھائے گئے ہیں جہاں سے درج ذیل لکھا جا سکتا ہے۔

$$\begin{aligned} B &= B_0 \cos \theta_p \\ \theta_p &= \theta - \theta_m \end{aligned} \quad (5.4)$$

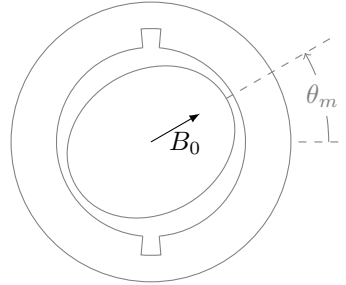
یوں درج ذیل ہو گا۔

$$B = B_0 \cos(\theta - \theta_m) \quad (5.5)$$

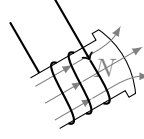
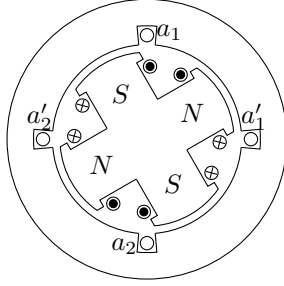
شکل 5.3 میں مقناطیس اور اس کا سائن نما مقناطیسی دباؤ پیش کیا گیا ہے۔ جیسا شکل 5.4 میں دکھایا گیا ہے، ایسے مقناطیسی دباؤ کو عموماً ایک سمتیہ سے ظاہر کیا جاتا ہے جہاں سمتیہ کا طول مقناطیسی دباؤ کا حیثہ اور سمتیہ کا رخ مقناطیس کے شمال کو ظاہر کرتا ہے۔



سائن نما مقناطیسی دباؤ  
 کو سمتیہ سے ظاہر کیا جاتا ہے  
 جس کا طول  $B_0$  اور اس کا  
 رخ چوٹی کا زاویہ دیتا ہے۔



شکل 5.4: مقناطیسی دباؤ کو سمتیہ سے ظاہر کیا جاتا ہے۔



شکل 5.5: چار قطب یک دوری معاصر جزیئر۔

شکل 5.3 میں مقناطیس کو لمحہ  $t_1$ ، زاویہ  $\theta_m(t_1)$  پر دکھایا گیا ہے جہاں ساکن لچھے کا ارتباط بہاؤ  $\lambda_\theta$  ہے۔ اگر مقناطیس گھڑی کے مخالف رخ ایک مقررہ رفتار  $\omega_0$  سے گھوم رہا ہو تب ساکن لچھے میں اس لمحہ پر برقی دباؤ  $e(t)$  پیدا ہو گا:

$$(5.6) \quad e(t) = \frac{d\lambda_\theta}{dt}$$

آدھے چکر،  $\pi$  ریڈین گھومنے کے، بعد مقناطیسی قطبین آپس میں جگہیں تبدیل کرتے ہیں، لچھے میں مقناطیسی بہاؤ کا رخ الٹ ہو گا، لچھے میں ارتباط بہاؤ  $\lambda_\theta -$  اور اس میں امالی برقی دباؤ  $e(t) -$  ہو گا۔ ایک مکمل چکر بعد مقناطیس دوبارہ اسی مقام پر ہو گا جو شکل 5.3 میں دکھایا گیا ہے، ساکن لچھے کا ارتباط بہاؤ دوبارہ  $\lambda_\theta$  اور اس میں امالی برقی دباؤ  $e(t)$  ہو گا۔ یوں جب بھی مقناطیس  $\theta_m = 2\pi$  میکانی زاویہ طے کرے، امالی برقی دباؤ کے برقی زاویہ میں  $\theta_e = 2\pi$  تبدیلی رونما ہوگی لہذا دو قطب، ایک لچھے کی مشین میں میکانی زاویہ  $\theta_m$  اور برقی زاویہ  $\theta_e$  ایک دوسرے کے برابر ہوں گے:

$$\theta_e = \theta_m$$

اس مشین میں اگر مقناطیس  $f_m$  چکر فی سیکنڈ کی رفتار سے گھومتا ہو تب لچھے میں امالی برقی دباؤ  $e(t)$  بھی ایک سیکنڈ میں  $f_m$  مکمل چکر کاٹے گا لہذا  $e(t)$  کے تعدد  $f_e$ <sup>11</sup> کی قیمت  $f_m$  ہرٹز<sup>12</sup> ہو گی۔

$$f_e = f_m$$

اس مشین میں میکانی زاویہ  $\theta_m$  اور برقی زاویہ  $\theta_e$  وقت کے ساتھ تبدیل ہونے کے باوجود آپس میں ایک تناسب رکھتے ہیں لہذا ایسے مشین کو معاصر مشین<sup>13</sup> کہتے ہیں۔ یہاں یہ تناسب ایک کے برابر ہے۔

<sup>11</sup> frequency

<sup>12</sup> Hertz

<sup>13</sup> synchronous machine

شکل 5.5 میں چار قطب، یک دوری معاصر جزیئر دکھایا گیا ہے۔ چھوٹے مشینوں میں عموماً مقناطیس جبکہ بڑے مشینوں میں برقی مقناطیس<sup>14</sup> استعمال ہوتے ہیں۔ اس شکل میں برقی مقناطیس استعمال کیے گئے ہیں۔ دو سے زائد قطبین والے مشینوں میں کسی ایک شمالی قطب کو حوالہ قطب تصور کیا جاتا ہے۔ شکل میں اس حوالہ قطب کو  $\theta_m$  پر دکھایا گیا ہے اور یوں دوسرا شمالی قطب  $(\theta_m + \pi)$  زاویہ پر ہے۔

جیسا کہ نام سے واضح ہے، اس مشین میں مقناطیس کے چار قطبین ہیں۔ ہر ایک شمالی قطب کے بعد ایک جنوبی قطب آتا ہے۔ یک دوری آلات میں مقناطیسی قطبین کے جوڑوں کی تعداد اور ساکن لچھوں کی تعداد ایک دوسرے کے برابر ہوتی ہے۔ شکل 5.5 میں مشین کے چار قطب یعنی دو جوڑی قطبین ہیں، لہذا اس مشین کے ساکن حصہ پر دو ساکن لچھے ہوں ہیں۔ ایک لچھے کو  $a_1$  سے واضح کیا گیا ہے اور دوسرے کو  $a_2$  سے۔ لچھے  $a_1$  کو قالب میں موجود دو شکاف  $a_1$  اور  $a_1'$  میں لپیٹا گیا ہے۔ اسی طرح  $a_2$  لچھے کو دو شکاف  $a_2$  اور  $a_2'$  میں رکھا گیا ہے۔ ان دونوں لچھوں میں یکساں برقی دباؤ پیدا ہوتا ہے۔ دونوں لچھوں کو سلسلہ وار<sup>15</sup> جوڑا جاتا ہے۔ اس طرح جزیئر سے حاصل برقی دباؤ ایک لچھے میں پیدا برقی دباؤ کا دگنا ہو گا۔ یک دوری آلات میں قالب کو مقناطیس کے قطبین کی تعداد کے برابر حصوں میں تقسیم کرنے سے مشین کا ہر ساکن لچھا ایک حصہ گھیرتا ہے۔ شکل 5.5 میں چار قطبین ہیں لہذا اس کا ایک لچھا نوے میکانی زاویہ کے احاطے کو گھیرتا ہے۔

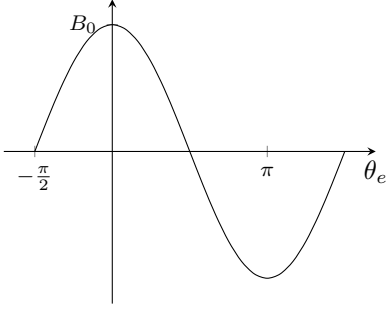
ساکن اور حرکی لچھوں کی کارکردگی ایک دوسرے سے مختلف ہوتی ہے۔ اس کی وضاحت کرتے ہیں۔

جیسا پہلے بھی ذکر کیا گیا چھوٹی گھومتی مشینوں میں مقناطیسی میدان ایک مقناطیس فراہم کرتا ہے جبکہ بڑی مشینوں میں برقی مقناطیس میدان فراہم کرتا ہے۔ اگرچہ اب تک کی اشکال میں مقناطیس کو گھومتا حصہ دکھایا گیا ہے، حقیقت میں مقناطیس کسی مشین میں گھومتا اور کسی میں ساکن ہو گا۔ میدان فراہم کرنے والا لچھا مشین کے کل برقی طاقت کے چند فی صد برابر برقی طاقت استعمال کرتا ہے۔ میدان فراہم کرنے والے اس لچھے کو میدان لچھا<sup>16</sup> کہتے ہیں۔ اس کے برعکس مشین میں موجود دوسری نوعیت کے لچھے کو قوی لچھا<sup>17</sup> کہتے ہیں۔ برقی جزیئر کے قوی لچھے سے برقی طاقت حاصل کی جاتی ہے۔ برقی موٹروں میں میدانی لچھے میں چند فی صد برقی طاقت کے ضیاع کے علاوہ تمام برقی طاقت قوی لچھے کو فراہم کی جاتی ہے۔

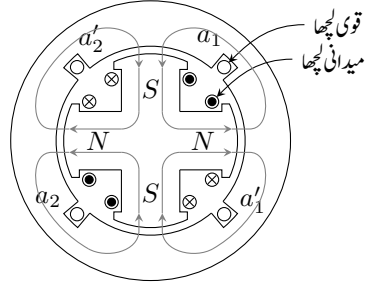
شکل 5.6 میں گھومتے اور ساکن حصہ کے بیچ خلائی درز میں شمالی قطب سے مقناطیسی بہاؤ باہر نکل کر قالب میں داخل ہوتا ہے جبکہ جنوبی قطب پر مقناطیسی بہاؤ قالب سے نکل کر جنوبی قطب میں داخل ہوتا ہے۔ شکل 5.6 میں

electromagnet<sup>14</sup>  
series connected<sup>15</sup>  
field coil<sup>16</sup>  
armature coil<sup>17</sup>





شکل 5.7: سائن نما کثافتِ مقناطیسی بہاؤ۔



شکل 5.6: چار قطب، دو لچھے مشین میں مقناطیسی بہاؤ۔

اس مقناطیسی بہاؤ کی کثافت کو دکھایا گیا ہے۔ یوں اگر ہم اس خلائی درز میں ایک گول چکر کاٹیں تو مقناطیسی بہاؤ کا رخ دو مرتبہ باہر کی جانب اور دو مرتبہ اندر کی جانب ہو گا۔ ان مشینوں میں کوشش کی جاتی ہے کہ خلائی درز میں  $B$  سائن نما ہو۔ یہ کیسے کیا جاتا ہے، اس پر آگے غور کیا جائے گا۔ اگر تصور کر لیا جائے کہ  $B$  سائن نما ہے تب خلائی درز میں  $B$  کی مطلق قیمت شکل 5.7 کی طرح ہو گی جہاں  $\theta_e$  برقی زاویہ ہے۔

$P$  قطبی مقناطیس کے معاصر مشین کے لئے لکھ درج ذیل ہو گا۔

$$(5.7) \quad \theta_e = \frac{P}{2} \theta_m$$

$$(5.8) \quad f_e = \frac{P}{2} f_m$$

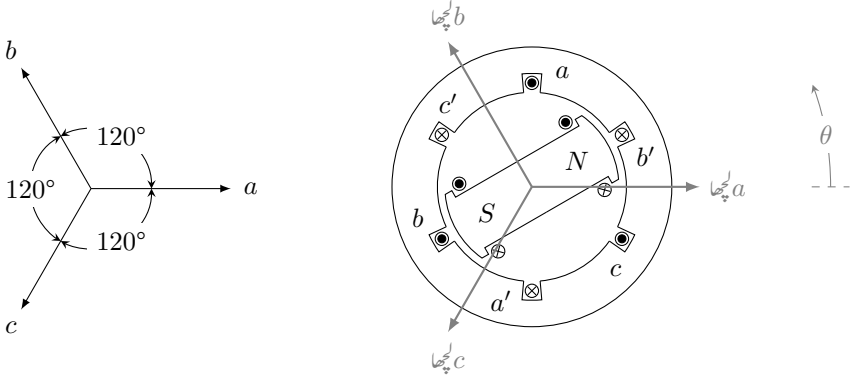
یہاں برقی اور میکانی تعدد کا تناسب 2 ہے۔

مثال 5.1: پاکستان میں گھریلو اور صنعتی صارفین کو 50 Hz کی برقی طاقت فراہم کی جاتی ہے۔ یوں ہمارے ہاں  $f_e = 50$  ہو گا۔

• اگر برقی طاقت دو قطبی جزیئر سے حاصل کی جائے تب جزیئر کی رفتار کتنی ہو گی؟۔

• اگر جزیئر کے بیس قطب ہوں تب جزیئر کی رفتار کتنی ہو گی؟

حل:



شکل 5.8: دو قطب، تین دوری معاصر مشین۔

- مساوات 5.8 کے تحت دو قطبی،  $P = 2$ ، جزیئر کا میکانی رفتار  $f_m = \frac{2}{2}(50) = 50$  چکر فی سیکنڈ یعنی 3000 چکر فی منٹ<sup>18</sup> ہو گا۔
- بیس قطبی،  $P = 20$ ، جزیئر کا میکانی رفتار  $f_m = \frac{2}{20}(50) = 5$  چکر فی سیکنڈ یعنی 300 چکر فی منٹ ہو گا۔

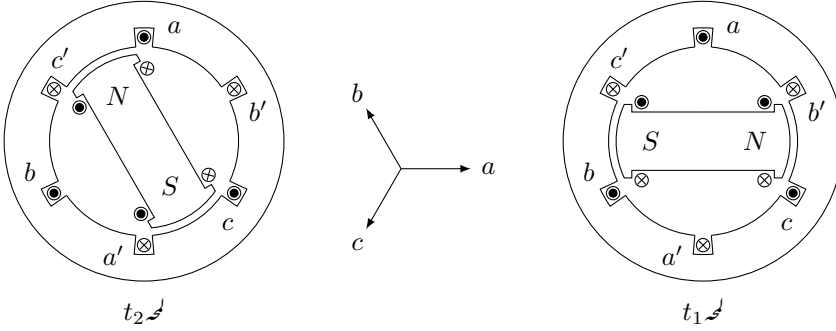
□

اب یہ فیصلہ کس طرح کیا جائے کہ جزیئر کے قطب کتنے رکھے جائیں۔ درحقیقت پانی سے چلنے والے جزیئر سست رفتار جبکہ ٹرہائن سے چلنے والے جزیئر تیز رفتار ہوتے ہیں، لہذا پانی سے چلنے والے جزیئر زیادہ قطب رکھتے ہیں جبکہ ٹرہائن سے چلنے والے جزیئر عموماً دو قطب کے ہوتے ہیں۔

شکل 5.8 میں دو قطب تین دوری معاصر مشین دکھایا گیا ہے۔ اس میں تین ساکن لچھے ہیں۔ ان میں ایک لچھا  $a$  ہے جو قالب میں شگاف  $a$  اور  $a'$  میں رکھا گیا ہے۔ اگر اس شکل میں باقی دو لچھے نہ ہوتے تب یہ بالکل شکل 5.1 میں دیا گیا مشین ہی تھا۔ البتہ دیے گئے شکل میں ایک کی بجائے تین ساکن لچھے ہیں۔

لچھے کا رخ درج ذیل طریقہ سے تعین کیا جاتا ہے۔

<sup>18</sup>rpm, rounds per minute



شکل 5.9: دو قطب تین دوری مشین۔

- دائیں ہاتھ کی چار انگلیوں کو دونوں شگافوں میں برقی رو کے رخ لپیٹیں۔ دائیں ہاتھ کا انگوٹھا لچھے کا رخ دے گا۔

شکل 5.8 میں لچھا  $a$  کا برقی رو شگاف  $a$  میں، کتاب کے صفحہ کو عمودی، باہر رخ جبکہ  $a'$  میں اس کے مخالف اندر رخ تصور کرتے ہوئے لچھا  $a$  کا رخ تیر دار لکیر سے دکھایا گیا ہے۔ اس رخ کو ہم صفر زاویہ تصور کرتے ہیں۔ یوں لچھا  $a$  صفر زاویہ پر لپیٹا گیا ہے، یعنی  $\theta_a = 0^\circ$  ہے۔ باقی لچھوں کے زاویات لچھا  $a$  کے رخ سے، گھڑی کے مخالف رخ نامے جاتے ہیں۔

شکل 5.8 میں لچھا  $b$  کو شگاف  $b$  اور  $b'$  میں رکھا گیا ہے اور لچھا  $c$  کو شگاف  $c$  اور  $c'$  میں رکھا گیا ہے۔ مزید لچھا  $b$  کو  $120^\circ$  زاویہ اور لچھا  $c$  کو  $240^\circ$  زاویہ پر رکھا گیا ہے۔ یوں  $\theta_b = 120^\circ$  اور  $\theta_c = 240^\circ$  ہوں گے۔

شکل 5.9 میں اگر لمحہ  $t_1$  پر لچھا  $a$  کا ارتباط بہاو  $\lambda_a(t_1)$  ہو تب لمحہ  $t_2$  پر، جب مقتناطیس  $120^\circ$  زاویہ طے کر لے، لچھا  $b$  کا ارتباط بہاو  $\lambda_b(t_2)$  ہو گا۔ لمحہ  $t_2$  پر مقتناطیس اور لچھا  $b$  ایک دوسرے کے لحاظ سے بالکل اسی طرح نظر آتے ہیں جیسے  $t_1$  پر مقتناطیس اور لچھا  $a$  ایک دوسرے کے لحاظ سے نظر آتے تھے۔ یوں لمحہ  $t_2$  پر لچھا  $b$  کا ارتباط بہاو اتنا ہی ہو گا جتنا لمحہ  $t_1$  پر لچھا  $a$  کا ارتباط بہاو تھا:

$$(5.9) \quad \lambda_b(t_2) = \lambda_a(t_1)$$

اسی طرح لمحہ  $t_3$  پر، جب مقتناطیس مزید  $120^\circ$  زاویہ طے کر لے، لچھا  $c$  کا ارتباط بہاو  $\lambda_c(t_3)$  ہو گا جو  $\lambda_a(t_1)$  کے برابر ہو گا۔ یوں درج ذیل لکھا جا سکتا ہے۔

$$(5.10) \quad \lambda_c(t_3) = \lambda_b(t_2) = \lambda_a(t_1)$$

ان لمحات پر لچھوں کے امالی برقی دباو

$$(5.11) \quad e_a(t_1) = \frac{d\lambda_a(t_1)}{dt}$$

$$(5.12) \quad e_b(t_2) = \frac{d\lambda_b(t_2)}{dt}$$

$$(5.13) \quad e_c(t_3) = \frac{d\lambda_c(t_3)}{dt}$$

ہوں گے۔ مساوات 5.10 کی روشنی میں درج ذیل ہو گا۔

$$(5.14) \quad e_a(t_1) = e_b(t_2) = e_c(t_3)$$

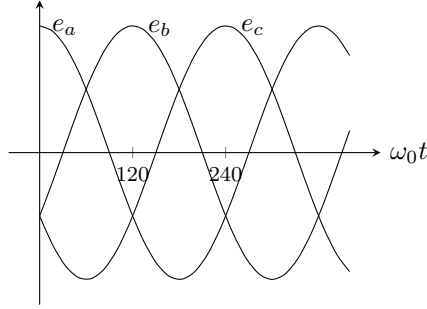
اگر شکل 5.9 میں صرف لچھا  $a$  پایا جاتا تب یہ بالکل شکل 5.1 کی طرح ہوتا اور اگر ایسی صورت میں مقناطیس گھڑی کے مخالف رخ ایک مقررہ رفتار  $\omega_0$  سے گھمایا جاتا تب، جیسے پہلے تذکرہ کیا گیا ہے، لچھا  $a$  میں سائن نما برقی دباو پیدا ہوتا۔ شکل 5.9 میں کسی ایک لچھے کو کسی دوسرے لچھے پر کوئی برتری حاصل نہیں ہے۔ یوں اگر شکل 5.9 میں مقناطیس اسی طرح گھمایا جائے تب تینوں ساکن لچھوں میں سائن نما برقی دباو پیدا ہو گا البتہ مساوات 5.14 کے تحت یہ برقی دباو آپس میں  $120^\circ$  زاویہ پر ہوں گے۔ ان امالی برقی دباو کو شکل 5.10 میں دکھایا گیا ہے۔ اگر لمحہ  $t_1$  پر  $e_1$  کی مثبت چوٹی ہو تب لمحہ  $t_2$  پر  $e_2$  اور لمحہ  $t_3$  پر  $e_3$  کی چوٹی پائی جائے گی۔ یوں درج ذیل ہوں گے۔

$$e_a(t) = E_0 \cos \omega_0 t$$

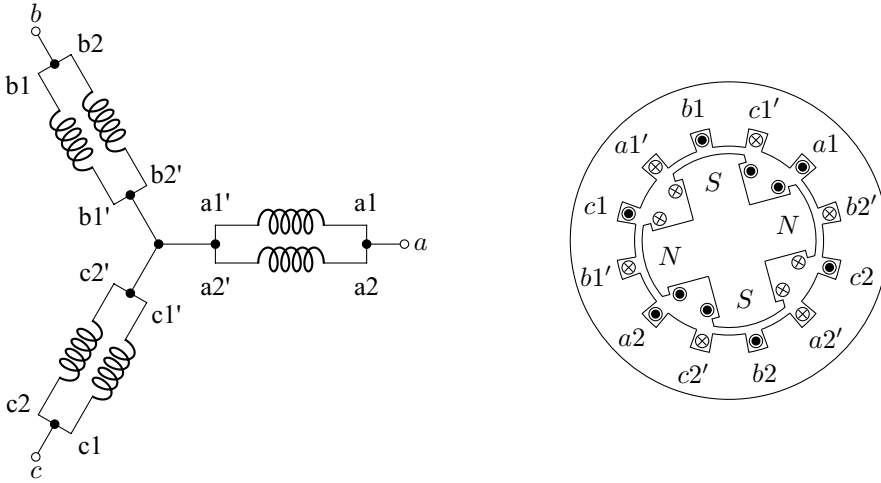
$$e_b(t) = E_0 \cos \left( \omega_0 t - \frac{2}{3} \pi \right)$$

$$e_c(t) = E_0 \cos \left( \omega_0 t - \frac{4}{3} \pi \right) = E_0 \cos \left( \omega_0 t + \frac{2}{3} \pi \right)$$

شکل 5.11 میں چار قطب، تین دوری معاصر مشین دکھایا گیا ہے۔ گھومتے حصے پر شمالی اور جنوبی قطبین باری باری پائے جاتے ہیں اور  $180^\circ$  میکانی زاویہ میں شمال اور قریبی جنوب قطب کی ایک جوڑی پائی جاتی ہے۔ یہی میکانی زاویہ  $360^\circ$  برقی زاویہ کے برابر ہو گا۔ شکل 5.8 میں ساکن حصہ کے  $360^\circ$  برقی زاویہ کے احاطہ میں تین دوری لچھے نسب ہیں جن کی اطراف کی ترتیب، گھڑی کے مخالف رخ چلتے ہوئے،  $a, c', b, a', c$  اور  $b'$  ہے۔ شکل 5.11 میں دو قطبین کے احاطہ،  $180^\circ$  میکانی زاویہ (یا  $360^\circ$  برقی زاویہ)، میں بالکل اسی طرح تین دوری لچھوں کے اطراف کی ترتیب  $a_1, c_1', b_1, a_1', c_1$  اور  $c_1'$  ہے۔ باقی دو قطبین کے احاطے میں بھی بالکل اسی طرح آپ کو  $a_2, c_2', c_2'$



شکل 5.10: تین دوری امالی برقی دباؤ میں زاویائی فرق پایا جاتا ہے۔



شکل 5.11: چار قطب، تین دوری معاصر مشین۔

$a_1$  اور  $a_2$  لچھوں میں بالکل یکساں برقی دباؤ پیدا ہو گا۔ تین دوری دو یکساں لچھوں کو سلسلہ وار یا متوازی جوڑ کر تین دوری برقی دباؤ حاصل کا جاتا ہے۔ شکل 5.11 میں انہیں متوازی جوڑ کر دکھایا گیا ہے جہاں  $a$  لچھے کو صفر زاویہ پر تصور کیا گیا ہے۔

### 5.3 محرک برقی دباؤ

قانون لورینز<sup>19</sup> کے تحت مقناطیسی میدان  $B$  میں سمتی رفتار  $v$  سے حرکت کرتا ہوا برقی بار  $q$  درج ذیل قوت  $F$  محسوس کرے گا۔

$$(5.15) \quad F = q(v \times B)$$

یہاں سمتی رفتار سے مراد برقی میدان کے لحاظ سے برقی بار کی سمتی رفتار ہے لہذا  $F$  کو ساکن مقناطیسی میدان میں برقی بار کی سمتی رفتار تصور کیا جاسکتا ہے۔ مثبت برقی بار پر قوت کا رخ دائیں ہاتھ کا قانون<sup>21</sup> دیا (صفحہ 104 پر شکل 4.1)۔ دائیں ہاتھ کے انگوٹھے کو باقی انگلیوں کے ساتھ برقرار قائم رکھ کر اس ہاتھ کی چار انگلیوں کو  $v$  کے رخ سے شروع کر کے، چھوٹے زاویہ پر گھما کر،  $B$  کے رخ موڑنے سے انگوٹھا  $F$  کا رخ دیگا۔

مقناطیسی میدان میں ابتدائی نقطہ سے اختتامی نقطہ تک، جن کے بیچ ہٹاؤ  $l$  ہے، برقی بار  $q$  منتقل کرنے کے لئے درکار کام  $W$  ہو گا:

$$(5.16) \quad W = F \cdot l = q(v \times B) \cdot l$$

اکائی مثبت برقی بار کو ایک نقطہ سے دوسرے نقطہ منتقل کرنے کے لئے درکار کام کو ان دو نقطوں کے بیچ برقی دباؤ<sup>22</sup> کہتے ہیں جس کی اکائی وولٹ<sup>23</sup>  $V$  ہے۔ یوں اس مساوات سے ان دو نقطوں کے بیچ درج ذیل برقی دباؤ ہو گا۔

$$(5.17) \quad e = \frac{W}{q} = (v \times B) \cdot l \quad \text{وولٹ}$$

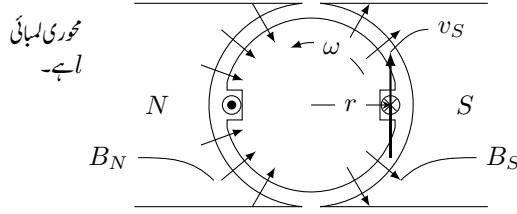
Lorentz law<sup>19</sup>

charge<sup>20</sup>

right hand rule<sup>21</sup>

potential difference, voltage<sup>22</sup>

volt<sup>23</sup>



شکل 5.12: ایک چکر کا لچھا مقناطیسی میدان میں گھوم رہا ہے۔

حرکت کی مدد سے یوں حاصل برقی دباؤ کو محرک برقی دباؤ<sup>24</sup> کہتے ہیں۔ روایتی طور پر کسی بھی طریقہ سے پیدا برقی دباؤ کو محرک برقی دباؤ کہتے ہیں۔ یوں کیمیائی برقی سیل وغیرہ کا برقی دباؤ بھی محرک برقی دباؤ کہلائے گا۔

شکل 5.12 میں خلاف گھڑی گھومتے حصہ پر ایک چکر کا لچھا نسب ہے۔ بائیں خلاء میں لچھا کی تار کے قطع پر غور کریں۔ مساوات 5.15 کے تحت بائیں قطع میں موجود مثبت برقی بار پر صفحہ کے عمودی باہر رخ قوت پیدا ہوگی جبکہ اس قطع میں موجود منفی برقی بار پر اس کے مخالف رخ قوت پیدا ہوگی۔ مساوات 5.17 کے تحت اس قطع کا بالائی سرا مثبت اور نچلا سرا منفی برقی دباؤ پر ہوگا۔

ہم گھومتے حصہ کی محور پر ٹنگی محدود قائم کرتے ہیں۔ یوں جنوبی قطب کے سامنے خلاء میں  $B$  رداسی رخ جبکہ شمالی قطب کے سامنے خلاء میں  $B$  رداس کے مخالف رخ ہوگا۔ جنوبی قطب کے سامنے شگاف میں برقی تار  $l_S$  کے لئے ہم درج ذیل لکھ سکتے ہیں۔

$$\begin{aligned} v_S &= v a_\theta = \omega r a_\theta \\ B_S &= B a_r \\ l_S &= l a_z \end{aligned} \quad (5.18)$$

یوں جنوبی قطب کے سامنے تار کے قطع میں درج ذیل محرک برقی دباؤ پیدا ہوگا۔

$$\begin{aligned} e &= (v \times B) \cdot l \\ &= \omega r B l (a_\theta \times a_r) \cdot a_z \\ &= \omega r B l (-a_z) \cdot a_z \\ &= -\omega r B l \end{aligned} \quad (5.19)$$

جنوبی مقناطیسی قطب کے سامنے شگاف میں برقی تار کی لمبائی کا رخ  $a_z$  لیا گیا ہے۔ اس مساوات میں برقی دباؤ منفی ہونے کا مطلب ہے کہ برقی تار کا مثبت سرا تار پر  $-a_z$  رخ ہے یعنی تار کا نچلا سرا مثبت اور بالائی سرا منفی ہے۔

اگر اس تار میں رو گزر سکے تو اس رو کا رخ  $a_z$  - یعنی صفحہ کو عمودی اندر رخ ہو گا جسے شکل 5.12 میں شگاف میں دائرہ کے اندر صلیبی نشان سے ظاہر کیا گیا ہے۔

اسی طرح شمالی مقناطیسی قطب کے سامنے شگاف میں موجود برقی تار کے لئے ہم درج ذیل لکھ سکتے ہیں۔

$$\begin{aligned} v_N &= v a_\theta = \omega r a_\theta \\ B_N &= -B a_r \\ l_N &= l a_z \end{aligned} \quad (5.20)$$

یوں اس قطع میں درج ذیل دباؤ ہو گا۔

$$\begin{aligned} e_N &= (v_N \times B_N) \cdot l_N \\ &= -\omega r B l (a_\theta \times a_r) \cdot a_z \\ &= -\omega r B l (-a_z) \cdot a_z \\ &= \omega r B l \end{aligned} \quad (5.21)$$

شمالی مقناطیسی قطب کے سامنے شگاف میں برقی تار کی لمبائی کا رخ  $a_z$  لیا گیا ہے۔ اس مساوات میں برقی دباؤ مثبت ہونے کا مطلب ہے کہ برقی تار کا مثبت سرا تار پر  $a_z$  رخ ہو گا یعنی تار کا بالائی سرا مثبت اور نچلا سرا منفی ہو گا۔ اگر اس تار میں رو گزر سکے تو اس کا رخ  $a_z$  یعنی صفحہ کو عمودی باہر رخ ہو گا جسے شکل 5.12 میں شگاف میں دائرہ کے اندر نقطہ کے نشان سے دکھایا گیا ہے۔

یہ دونوں تار مل کر ایک چکر کا لچھا بناتے ہیں۔ ان تاروں کے نچلے سرا ایک دوسرے کے ساتھ سلسلہ وار جڑے ہیں جس کو شکل میں نہیں دکھایا گیا۔ یوں اس لچھے کے بالائی، نظر آنے والے، سروں پر کل برقی دباؤ  $e$  ان دو برقی تاروں میں پیدا برقی دباؤ کا مجموعہ ہو گا:

$$\begin{aligned} e &= 2rlB\omega \\ &= AB\omega \end{aligned} \quad (5.22)$$

یہاں لچھے کا رقبہ  $A = 2rl$  ہے۔ اگر ایک چکر سے اتنا برقی دباؤ حاصل ہو تب  $N$  چکر کے لچھے سے درج ذیل دباؤ حاصل ہو گا جہاں  $\phi = AB$  مقناطیسی بہاؤ ہے۔

$$\begin{aligned} e &= \omega NAB \\ &= 2\pi f NAB \\ &= 2\pi f N\phi \end{aligned} \quad (5.23)$$



گھومتی مشینوں کی خلائی درز میں  $B$  اور  $v$  ہر لمحہ ایک دوسرے کے عمودی ہوتے ہیں۔ مساوات 5.17 کے تحت مستقل زاویائی رفتار اور محوری لمبائی کی صورت میں پیدا کردہ برقی دباؤ ہر لمحہ  $B$  کا براہ راست تناسب ہو گا۔ خلائی درز میں زاویہ کے ساتھ تبدیل ہوتے ہوئے  $B$  کی صورت میں گھومتے لچھے میں پیدا برقی دباؤ بھی زاویہ کے ساتھ تبدیل ہو گا۔ یوں جس شکل کا برقی دباؤ درکار ہو اسی شکل کی کثافت مقناطیسی دباؤ خلائی درز میں پیدا کرنی ہو گی۔ سائن نما برقی دباؤ پیدا کرنے کے لئے خلائی درز میں سائن نما کثافت مقناطیسی بہاؤ درکار ہو گی۔

اگلے حصے میں خلائی درز میں ضرورت کے تحت  $B$  پیدا کرنے کی ترکیب بتائی جائے گی۔

#### 5.4 پھیلے لچھے اور سائن نما مقناطیسی دباؤ

ہم نے اب تک جتنے مشین دیکھے ان سب میں گٹھ<sup>25</sup> لچھے دکھائے گئے۔ مزید ان مشینوں میں گھومتے حصے پر موجود مقناطیس کے ابھرے قطب<sup>26</sup> تھے۔ عموماً حقیقی مشینوں کے ہموار قطب<sup>27</sup> اور پھیلے لچھے<sup>28</sup> ہوتے ہیں جن کی بنا سائن اور گھومتے حصوں کے بیچ خلائی درز میں سائن نما مقناطیسی دباؤ اور سائن نما کثافت مقناطیسی بہاؤ پیدا کرنا ممکن ہوتا ہے۔

شکل 5.13 میں ایک گٹھ لچھا دکھایا گیا ہے جہاں مشین کے گھومتے حصے کا عمودی تراش گول شکل کا ہو گا۔ متحرک اور ساکن قالب کا  $\mu_r \rightarrow \infty$  ہے لہذا ان کی ہچکچاہٹ صفر ہو گی۔ لچھے کا مقناطیسی دباؤ  $\tau = Ni$ ، مقناطیسی بہاؤ  $\phi$  پیدا کرتا ہے جس کو تیر دار لکیروں سے ظاہر کیا گیا ہے۔ مقناطیسی بہاؤ خلائی درز میں سے دو مرتبہ گزرتا ہوا لچھے کے گرد ایک چکر کاٹتا ہے۔ یوں ایک چکر، یعنی دو درزوں، کے لئے درج ذیل ہو گا۔

$$(5.24) \quad \tau = Ni = 2Hl_a$$

اس مساوات کی دونوں اطراف کو 2 سے تقسیم کرتے ہوئے ایک درز کی مساوات لکھی جاسکتی ہے جہاں ایک درز پر لاگو مقناطیسی دباؤ کو  $\tau_a$  سے ظاہر کیا گیا ہے:

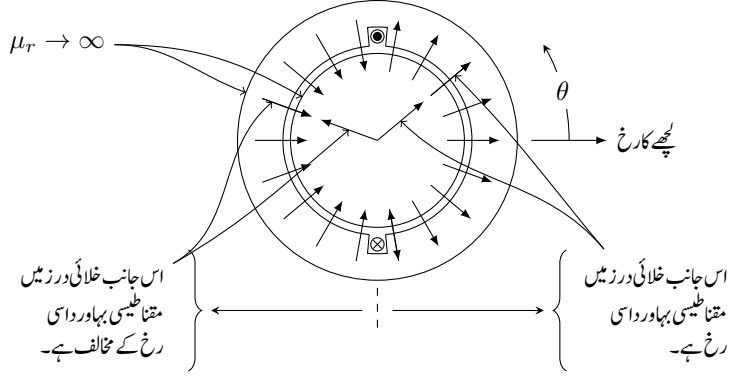
$$\tau_a = \frac{\tau}{2} = Hl_a$$

non-distributed coils<sup>25</sup>

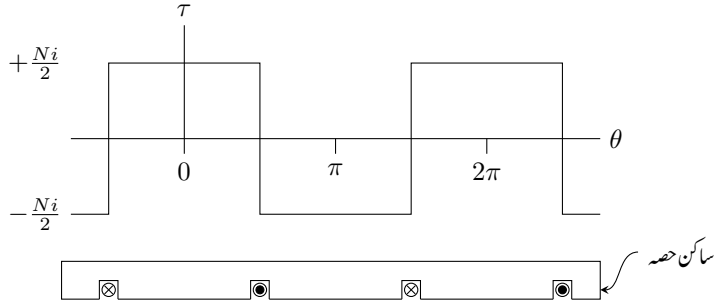
salient poles<sup>26</sup>

non-salient poles<sup>27</sup>

distributed winding<sup>28</sup>



شکل 5.13: ساکن لچھا پچھ ہے۔



شکل 5.14: گچھ لچھے کی خلائی درز میں مقناطیسی دباو۔

یوں ساکن لچھے کے مقناطیسی دباؤ کا ایک آدھا حصہ ایک خلائی درز اور دوسرا آدھا حصہ دوسری خلائی درز میں مقناطیسی بہاو پیدا کرتا ہے۔ مزید زاویہ  $90^\circ$  تا  $90^\circ$  خلائی درز میں مقناطیسی دباؤ (اور مقناطیسی بہاو) رداسی رخ جبکہ زاویہ  $90^\circ$  تا  $270^\circ$  خلائی درز میں رداس کے مخالف رخ ہے۔ ہم رداسی رخ کو مثبت تصور کرتے ہیں۔ چونکہ مقناطیسی بہاو (اور مقناطیسی دباؤ)  $-\frac{\pi}{2} < \theta < \frac{\pi}{2}$  کے درمیان رداسی رخ ہے لہذا اسے مثبت تصور کیا جائے گا جبکہ باقی حصہ پر مقناطیسی دباؤ (اور مقناطیسی بہاو) رداس کے مخالف رخ ہے لہذا اسے منفی تصور کیا جائے گا۔ شکل 5.14 میں خلائی درز میں مقناطیسی دباؤ کو زاویہ کے ساتھ ترسیم کیا گیا ہے۔ وقفہ  $-\frac{\pi}{2} < \theta < \frac{\pi}{2}$  کی خلائی درز میں مقناطیسی دباؤ  $\tau_a$  لچھے کے مقناطیسی دباؤ  $\tau$  کا آدھا ہے اور اس کا رخ مثبت ہے جبکہ وقفہ  $\frac{\pi}{2} < \theta < \frac{3\pi}{2}$  کی خلائی درز میں مقناطیسی دباؤ لچھے کے مقناطیسی دباؤ کا آدھا اور منفی رخ ہے۔ یاد رہے مقناطیسی دباؤ کا رخ رداسی رخ کے حوالہ سے تعین کیا جاتا ہے۔

#### 5.4.1 بدلتارو مشین

بدلتارو (اے سی) مشین بناتے وقت کوشش کی جاتی ہے کہ خلائی درز میں مقناطیسی دباؤ سائن نما ہو۔ سائن نما مقناطیسی دباؤ کے حصول کی خاطر پچھوں کو ایک سے زیادہ شگافوں میں تقسیم کیا جاتا ہے۔ ایسا کرنے سے سائن نما مقناطیسی دباؤ کیسے حاصل ہوتا ہے، اس بات کی یہاں وضاحت کی جائے گی۔

فوریر تسلسل<sup>29</sup> کے تحت ہم کسی بھی تفاعل<sup>30</sup>  $f(\theta_p)$  کو درج ذیل لکھ سکتے ہیں۔

$$(5.25) \quad f(\theta_p) = \sum_{n=0}^{\infty} (a_n \cos n\theta_p + b_n \sin n\theta_p)$$

تفاعل کا دوری عرصہ  $T$ <sup>31</sup> ہونے کی صورت میں فوریر تسلسل کے عددی سر درج ذیل ہوں گے۔

$$(5.26) \quad \begin{aligned} a_0 &= \frac{1}{T} \int_{-T/2}^{T/2} f(\theta_p) d\theta_p \\ a_n &= \frac{2}{T} \int_{-T/2}^{T/2} f(\theta_p) \cos n\theta_p d\theta_p \\ b_n &= \frac{2}{T} \int_{-T/2}^{T/2} f(\theta_p) \sin n\theta_p d\theta_p \end{aligned}$$

Fourier series<sup>29</sup>  
function<sup>30</sup>  
time period<sup>31</sup>

مثال 5.2: شکل 5.14 میں دیے گئے مقناطیسی دباؤ کا

- فوریز تسلسل حاصل کریں،
- تیسری موسیقائی جزو<sup>32</sup> اور بنیادی جزو<sup>33</sup> کا تناسب معلوم کریں۔

حل:

- مساوات 5.26 کی مدد سے

$$\begin{aligned} a_0 &= \frac{1}{2\pi} \left[ \int_{-\pi}^{-\pi/2} \left( -\frac{Ni}{2} \right) d\theta_p + \int_{-\pi/2}^{\pi/2} \left( \frac{Ni}{2} \right) d\theta_p + \int_{\pi/2}^{\pi} \left( -\frac{Ni}{2} \right) d\theta_p \right] \\ &= \frac{1}{2\pi} \left[ \left( -\frac{Ni}{2} \right) \left( -\frac{\pi}{2} + \pi \right) + \left( \frac{Ni}{2} \right) \left( \frac{\pi}{2} + \frac{\pi}{2} \right) + \left( -\frac{Ni}{2} \right) \left( \pi - \frac{\pi}{2} \right) \right] \\ &= 0 \end{aligned}$$

اور درج ذیل حاصل ہوں گے۔

$$\begin{aligned} a_n &= \frac{2}{2\pi} \frac{Ni}{2} \left[ \int_{-\pi}^{-\pi/2} -\cos n\theta_p d\theta_p + \int_{-\pi/2}^{\pi/2} \cos n\theta_p d\theta_p + \int_{\pi/2}^{\pi} -\cos n\theta_p d\theta_p \right] \\ &= \frac{Ni}{2\pi} \left[ -\frac{\sin n\theta_p}{n} \Big|_{-\pi}^{-\pi/2} + \frac{\sin n\theta_p}{n} \Big|_{-\pi/2}^{\pi/2} - \frac{\sin n\theta_p}{n} \Big|_{\pi/2}^{\pi} \right] \\ &= \frac{Ni}{2n\pi} \left[ \sin \frac{n\pi}{2} + 2 \sin \frac{n\pi}{2} + \sin \frac{n\pi}{2} \right] \\ &= \left( \frac{4}{n\pi} \right) \left( \frac{Ni}{2} \right) \sin \frac{n\pi}{2} \end{aligned}$$

اس مساوات میں  $n$  کی قیمت ایک، دو، تین لیتے ہوئے درج ذیل حاصل ہوتا ہے۔

$$\begin{aligned} a_1 &= \left( \frac{4}{\pi} \right) \left( \frac{Ni}{2} \right), \quad a_3 = - \left( \frac{4}{3\pi} \right) \left( \frac{Ni}{2} \right), \quad a_5 = \left( \frac{4}{5\pi} \right) \left( \frac{Ni}{2} \right) \\ a_2 &= a_4 = a_6 = 0 \end{aligned}$$

third harmonic component<sup>32</sup>  
fundamental component<sup>33</sup>

اسی طرح درج ذیل ہو گا۔

$$\begin{aligned}
 b_n &= \frac{2}{2\pi} \frac{Ni}{2} \left[ \int_{-\pi}^{-\pi/2} -\sin n\theta_p d\theta_p + \int_{-\pi/2}^{\pi/2} \sin n\theta_p d\theta_p + \int_{\pi/2}^{\pi} -\sin n\theta_p d\theta_p \right] \\
 &= \frac{Ni}{2\pi} \left[ \frac{\cos n\theta_p}{n} \Big|_{-\pi}^{-\pi/2} - \frac{\cos n\theta_p}{n} \Big|_{-\pi/2}^{\pi/2} + \frac{\cos n\theta_p}{n} \Big|_{\pi/2}^{\pi} \right] \\
 &= 0
 \end{aligned}$$

• ان نتائج کا یکجا کرتے ہیں:

$$\left| \frac{a_3}{a_1} \right| = \frac{\left( \frac{4}{3\pi} \right) \left( \frac{Ni}{2} \right)}{\left( \frac{4}{\pi} \right) \left( \frac{Ni}{2} \right)} = \frac{1}{3}$$

□

یوں تیسرا موسیقائی جزو بنیادی جزو کا تیسرا حصہ یعنی 33.33 فی صد ہو گا۔

مثال 5.2 میں حاصل کردہ  $a_1, a_2, \dots$  استعمال کرتے ہوئے ہم خلائی درز میں مقناطیسی دباؤ  $\tau$  کا فوریر تسلسل لکھتے ہیں۔

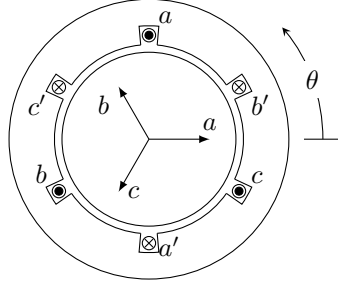
$$(5.27) \quad \tau_a = \frac{4}{\pi} \frac{Ni}{2} \cos \theta_p - \frac{4}{3\pi} \frac{Ni}{2} \cos 3\theta_p + \frac{4}{5\pi} \frac{Ni}{2} \cos 5\theta_p - \dots$$

مثال 5.2 کے مقناطیسی دباؤ کے موسیقائی اجزاء کی قیمتیں اتنی کم نہیں کہ انہیں رد کیا جاسکے۔ جیسا آپ اس باب میں آگے دیکھیں گے حقیقی مقناطیسی دباؤ کے موسیقائی اجزاء قابل نظر انداز ہوں گے اور ہمیں صرف بنیادی جزو سے غرض ہو گا۔ اسی حقیقت کو مد نظر رکھتے ہوئے ہم تسلسل کے موسیقائی اجزاء کو نظر انداز کرتے ہوئے مساوات 5.27 سے

$$(5.28) \quad \tau_a = \frac{4}{\pi} \frac{Ni}{2} \cos \theta_p = \tau_0 \cos \theta_p$$

لکھتے ہیں جہاں  $\tau_0$  درج ذیل ہے۔

$$(5.29) \quad \tau_0 = \frac{4}{\pi} \frac{Ni}{2}$$



شکل 5.15: تین دور لچھے۔

خلائی درج میں  $\tau$ ،  $H$  اور  $B$  ایک دوسرے کے برائے راست متناسب ہوتے ہیں۔ یوں مساوات 5.28 کے تحت شکل 5.13 کا لچھے اور شکل 5.2 میں صفر زاویہ پر سلاخ نما مقناطیس یکساں  $\tau$  (اور  $B$ ) دیں گے۔ اسی طرح اگر شکل 5.13 کا لچھا زاویہ  $\theta_m$  پر ہوتا تب ہمیں شکل 5.3 میں موجود مقناطیس کے نتائج حاصل ہوتے۔ شکل 5.15 میں تین لچھے آپس میں  $120^\circ$  زاویہ پر دکھائے گئے ہیں۔ ہم مساوات 5.64 کی طرح اس شکل میں لچھا  $a$  کے لئے درج ذیل لکھ سکتے ہیں۔

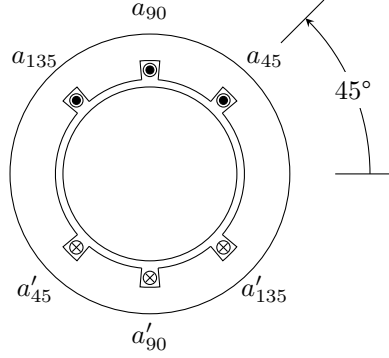
$$\begin{aligned}
 \tau_a &= \tau_0 \cos \theta_{pa} \\
 \theta_{pa} &= \theta - \theta_{ma} = \theta - 0^\circ \\
 \tau_a &= \tau_0 \cos(\theta - \theta_m) = \tau_0 \cos \theta
 \end{aligned}
 \tag{5.30}$$

اسی طرح لچھا  $b$  اور  $c$  جو بالترتیب  $\theta_{mb} = 120^\circ$  اور  $\theta_{mc} = 240^\circ$  زاویہ پر ہیں کے لئے درج ذیل ہو گا۔

$$\begin{aligned}
 \tau_b &= \tau_0 \cos \theta_{pb} \\
 \theta_{pb} &= \theta - \theta_{mb} = \theta - 120^\circ \\
 \tau_b &= \tau_0 \cos(\theta - \theta_{mb}) = \tau_0 \cos(\theta - 120^\circ)
 \end{aligned}
 \tag{5.31}$$

$$\begin{aligned}
 \tau_c &= \tau_0 \cos \theta_{pc} \\
 \theta_{pc} &= \theta - \theta_{mc} = \theta - 240^\circ \\
 \tau_c &= \tau_0 \cos(\theta - \theta_{mc}) = \tau_0 \cos(\theta - 240^\circ) = \tau_0 \cos(\theta + 120^\circ)
 \end{aligned}
 \tag{5.32}$$

اگرچہ ظاہری طور پر خلائی درز میں مقناطیسی دباؤ سائن نما ہر گز نہیں لگتا لیکن مساوات 5.27 ہمیں بتلاتی ہے کہ یہ محض نظر کا دھوکا ہے۔ اس مقناطیسی دباؤ کا بیشتر حصہ سائن نما ہی ہے۔ اگر ہم کسی طرح مساوات 5.27 میں پہلے رکن کے علاوہ باقی تمام ارکان کو صفر کر سکیں تب ہمیں سائن نما مقناطیسی دباؤ حاصل ہو گا۔



شکل 5.16: پھیلا لچھا۔

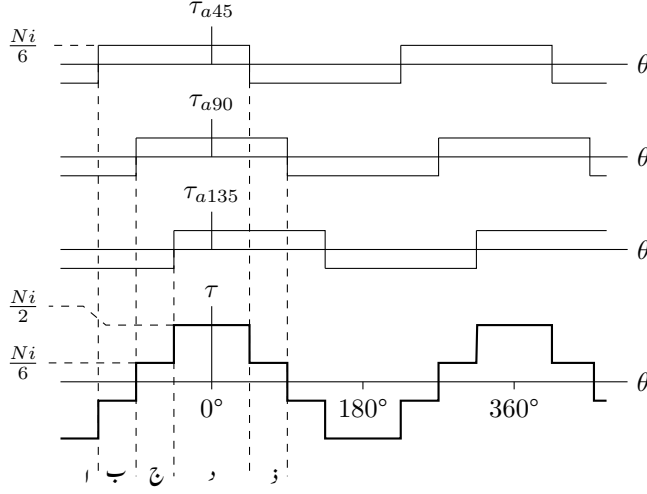
شکل 5.13 کے  $N$  چکر لچھے کو تین چھوٹے یکساں لچھوں میں تقسیم کرتے ہوئے شکل 5.16 حاصل کیا گیا ہے جہاں ہر چھوٹا لچھا  $\frac{N}{3}$  چکر کا ہے۔ ایسے چھوٹے لچھوں کو سلسلہ وار جوڑا<sup>34</sup> جاتا ہے لہذا ان میں ایک جیسا برقی رو  $i$  گزرے گا۔ ان تین لچھوں کو تین مختلف شگافوں میں رکھا گیا ہے۔ پہلے لچھے کو شگاف  $a_{45}$  اور  $a'_{45}$  میں رکھا گیا ہے۔ دوسرے لچھے کو شگاف  $a_{90}$  اور  $a'_{90}$  میں اور تیسرے لچھے کو شگاف  $a_{135}$  اور  $a'_{135}$  میں رکھا گیا ہے۔

شگافوں کے ایک جوڑا کو ایک ہی طرح کے نام دیے گئے ہیں، البتہ ایک شگاف کو  $a$  اور دوسرے کو  $a'$  نام دیا گیا ہے۔ یوں شگافوں کا پہلے جوڑا  $a_{45}$  اور  $a'_{45}$  ہے۔ شگاف کا نام شگاف کے زاویہ کے لحاظ سے رکھا گیا ہے۔ یوں شگاف  $a_{45}$  درحقیقت  $45^\circ$  زاویہ پر ہے، شگاف  $a_{90}$  نوے درجہ زاویہ پر اور شگاف  $a_{135}$  ایک سو پینتیس درجہ زاویہ پر ہے۔ اسی طرح  $a'_{45}$  شگاف  $a_{45}$  کا جوڑا ہے۔

تمام لچھے  $\frac{N}{3}$  چکر کے ہیں اور تمام لچھوں میں برقی رو  $i$  ایک دوسرے جیسا ہے۔ شکل 5.16 کے پھیلے لچھے کا مقناطیسی دباؤ بالقابل زاویہ کا ترسیم شکل 5.17 میں موٹی لکیر سے دکھایا گیا ہے۔ سب سے اوپر لچھا  $a_{45}$  کے مقناطیسی دباؤ کی ترسیم ہے جو شکل 5.14 کی ترسیم کی طرح لیکن صفر زاویہ سے  $-45^\circ$  ہٹ کر ہے۔ دوسری ترسیم لچھا  $a_{90}$  کی ہے جو ہو بہو شکل 5.14 کی طرح ہے جبکہ تیسری ترسیم لچھا  $a_{135}$  کی ہے جو صفر زاویہ سے  $+45^\circ$  ہٹ کر ہے۔ ان تینوں ترسیمات کا انفرادی طول  $\frac{N}{6}$  ہے۔

ترسیمات  $\tau_{a_{45}}$ ،  $\tau_{a_{90}}$  اور  $\tau_{a_{135}}$  سے کل مقناطیسی دباؤ کی ترسیم  $\tau$  حاصل کرنا سیکھتے ہیں۔ شکل 5.17 میں عمودی نقطہ دار لکیریں لگائی گئی ہیں۔ سب سے بائیں پہلی لکیر کی بائیں طرف خطہ کو "ا" کہا گیا ہے۔ اس

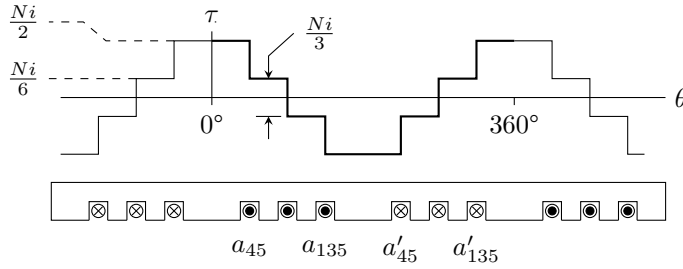
series connected<sup>34</sup>



شکل 5.17: پھیلے لچھے کا کل متناطیسی دباؤ۔

خطہ میں ترسیمات  $\tau_{a45}$ ،  $\tau_{a90}$  اور  $\tau_{a135}$  کی انفرادی قیمتیں  $-\frac{Ni}{6}$  ہیں لہذا ان کا مجموعہ  $-\frac{Ni}{2}$  ہو گا۔ یوں خطہ "ا" میں کل متناطیسی دباؤ  $\tau$  کی ترسیم کی قیمت  $-\frac{Ni}{2}$  ہو گی۔ اسی طرح خطہ "ب" میں  $\tau_{a45}$  کی قیمت  $+\frac{Ni}{6}$ ،  $\tau_{a90}$  کی  $-\frac{Ni}{6}$  اور  $\tau_{a135}$  کی بھی  $-\frac{Ni}{6}$  ہے۔ ان کا مجموعہ  $-\frac{Ni}{6}$  ہے جو کل متناطیسی دباؤ  $\tau$  ہو گا۔ خطہ "ج" میں بالائی تینوں ترسیمات کی قیمتیں بالترتیب  $+\frac{Ni}{6}$ ،  $+\frac{Ni}{6}$  اور  $-\frac{Ni}{6}$  ہیں جن کا مجموعہ  $+\frac{Ni}{6}$  کل متناطیسی دباؤ ہو گا۔ اسی طرح آپ پوری ترسیم کھینچ سکتے ہیں۔

شکل 5.17 کی  $\tau$  کو شکل 5.18 میں دوبارہ پیش کیا ہے۔ شکل 5.18 پھیلے لچھے اور شکل 5.14 گچھ لچھے



شکل 5.18: پھیلے لچھے کا متناطیسی دباؤ۔



کے دباؤ کی ترسیمات ہیں۔ شکل 5.14 کے لحاظ سے شکل 5.18 کی صورت سائن نما کے زیادہ قریب ہے۔ فوریزر تسلسل حل کرنے سے بھی یہی نتیجہ حاصل ہوتا ہے۔ شگافوں کے مقامات اور ان میں لچھوں کے چکر یوں رکھے جا سکتے ہیں کہ ان کے پیدا کردہ مقناطیسی دباؤ کی ترسیم کی صورت سائن نما کی زیادہ سے زیادہ قریب ہو۔

پھیلے لچھے کے مختلف حصے ایک ہی زاویہ پر مقناطیسی دباؤ نہیں بناتے لہذا ان سے حاصل کل مقناطیسی دباؤ کا حیظ (اتنے ہی چکر کے) ایک گچھ لچھے کے حیظ سے کم ہوتا ہے۔ مساوات 5.29 میں اس اثر کو شامل کرنے کے لئے جزو  $k_w$  متعارف کیا جاتا ہے

$$\begin{aligned} \tau_0 &= k_w \frac{4 Ni}{\pi} \frac{2}{2} \\ \tau_a &= k_w \frac{4 Ni}{\pi} \frac{2}{2} \cos \theta = \tau_0 \cos \theta \end{aligned} \quad (5.33)$$

جہاں  $k_w$  جزو پھیلاؤ<sup>35</sup> کہلاتا ہے۔ جزو پھیلاؤ کی قیمت اکائی سے کم ہوتی ہے۔

$$0 < k_w < 1 \quad (5.34)$$

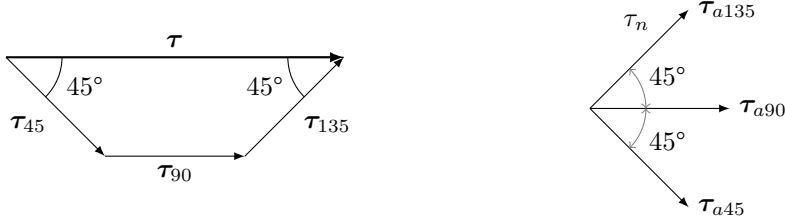
مثال 5.3: شکل 5.16 کے پھیلے لچھے کا  $k_w$  تلاش کریں۔

حل: ہمیں شکل 5.18 کی موج کا بنیادی جزو درکار ہے لہذا ہم اس موج کے فوریزر تسلسل کا عددی سر  $a_1$  تلاش کرتے ہیں۔ عددی سر کے حصول میں پورے موج کی بجائے ہم آدھی موج پر  $90^\circ$  تا  $90^\circ$  مکمل لیتے ہیں۔ یوں  $a_1$  کا کلیہ درج ذیل صورت اختیار کرتا ہے۔ (آپ چاہیں تو پوری موج پر مکمل لے سکتے ہیں۔)

$$a_1 = \frac{2}{T} \int_{-T/2}^{T/2} f(\theta) \cos \theta d\theta = \frac{4}{T} \int_{-T/4}^{T/4} f(\theta) \cos \theta d\theta$$

اس طرح درج ذیل ہو گا۔

$$\begin{aligned} a_1 &= \frac{2}{\pi} \int_{-\pi/2}^{\pi/2} f(\theta) \cos \theta d\theta \\ &= \frac{2}{\pi} \left[ \int_{-\pi/2}^{-\pi/4} \frac{Ni}{6} \cos \theta d\theta + \int_{-\pi/4}^{\pi/4} \frac{Ni}{2} \cos \theta d\theta + \int_{\pi/4}^{\pi/2} \frac{Ni}{6} \cos \theta d\theta \right] \\ &= 0.8047 \frac{4 Ni}{\pi} \frac{2}{2} \end{aligned}$$



شکل 5.19: پھیلے لچھے کا جزو پھیلاؤ۔

□

یوں  $k_w = 0.8047$  ہو گا۔

متناطیسی دباؤ کو سمتیہ تصور کرتے ہوئے درج بالا مثال کو دوبارہ حل کرتے ہیں۔ آپ دیکھیں گے کہ یہ ترکیب نسبتاً آسان ہے۔

مثال 5.4: شکل 5.16 کے پھیلے لچھے کا  $k_w$  تلاش کریں۔

حل: شکل 5.19 سے رجوع کریں۔ شکل 5.16 کے تین چھوٹے لچھے ایک جیسا متناطیسی دباؤ  $\tau_n = \frac{4}{\pi} \frac{ni}{2}$  پیدا کرتے ہیں البتہ ان کے رخ مختلف ہیں۔ یہاں ایک لچھا  $\frac{N}{3}$  چکر کا ہے لہذا  $n = \frac{N}{3}$  ہو گا۔ ہم تینوں متناطیسی دباؤ کے دوری سمتیات کا مجموعہ لے کر متناطیسی دباؤ  $\tau$  معلوم کرتے ہیں۔

$$\begin{aligned}\tau_a &= \tau_n \cos 45^\circ + \tau_n + \tau_n \cos 45^\circ \\ &= 2.4142\tau_n\end{aligned}$$

یوں درج ذیل ہو گا

$$\tau_a = 2.4142 \frac{4}{\pi} \frac{ni}{2} = \frac{2.4142}{3} \frac{4}{\pi} \frac{Ni}{2} = 0.8047 \frac{4}{\pi} \frac{Ni}{2}$$

□

لہذا  $k_w = 0.8047$  کے برابر ہے۔

مثال 5.5: تین دوری، 50 ہرٹز، ستارہ جڑے جزیر کو 3000 چکر فی منٹ کی رفتار سے چلایا جاتا ہے۔ تیس چکر کے میدانی لچھے کا جزو پھیلاؤ  $k_{w,m} = 0.9$  جبکہ پندرہ چکر قوی لچھے کا جزو پھیلاؤ  $k_{w,q} = 0.833$  ہے۔ مشین کا رداس 0.7495 میٹر اور لمبائی  $l = 2.828$  میٹر ہے۔ خلائی درز کی لمبائی  $l_k = 0.04$  میٹر ہے۔ میدانی لچھے میں 1000 ایمپیر برقی رو کی صورت میں درج ذیل تلاش کریں۔ خلاء میں متناطیسی بہاؤ سائن نما ہو گا۔

- میدانی مقناطیسی دباؤ کی زیادہ سے زیادہ قیمت۔
- خلائی درز میں کشاف مقناطیسی بہاؤ کی زیادہ سے زیادہ قیمت۔
- ایک قطب پر مقناطیسی بہاؤ۔
- متحرک تار پر برقی دباؤ۔

حل:

$$\begin{aligned}\tau_0 &= k_{w,m} \frac{4}{\pi} \frac{N_m i_m}{2} = 0.9 \times \frac{4}{\pi} \times \frac{30 \times 1000}{2} = 17186 \text{ A} \cdot \text{turns/m} \\ B_0 &= \mu_0 H_0 = \mu_0 \frac{\tau_0}{l_k} = 4\pi 10^{-7} \times \frac{17186}{0.04} = 0.54 \text{ T} \\ \phi_0 &= \int_{-\pi/2}^{\pi/2} r l B_0 \cos \theta d\theta = 2B_0 l r = 2 \times 0.54 \times 2.828 \times 0.7495 = 2.28915 \text{ Wb} \\ E_{rms} &= 4.44 f k_{w,q} N_q \phi_0 \\ &= 4.44 \times 50 \times 0.833 \times 15 \times 2.28915 \\ &= 6349.85 \text{ V}\end{aligned}$$

یوں ستارہ جڑی جزیئر کی تار کا برقی دباؤ درج ذیل ہو گا۔

$$\sqrt{3} \times 6349.85 \approx 11000 \text{ V}$$

□

ہم سائن نما مقناطیسی دباؤ حاصل کرنا چاہتے ہیں۔ چھوٹے لچھوں کے چکر اور شگافوں کے مقامات یوں چنے جاتے ہیں کہ یہ مقصد پورا ہو۔ شکل 5.18 میں صفر زاویہ کے دونوں اطراف مقناطیسی دباؤ کی ترسیم ایک جیسے گھٹتی یا بڑھتی ہے۔ مثلاً جمع اور منفی پینتالیس زاویہ پر مقناطیسی دباؤ  $\frac{Ni}{3}$  گھٹتا ہے۔ اسی طرح جمع اور منفی نوے زاویہ پر دباؤ مزید  $\frac{Ni}{3}$  گھٹتا ہے، وغیرہ وغیرہ۔ یہ ایک بنیادی اصول ہے جس کا خیال رکھنا ضروری ہے۔

چھوٹے لچھوں کے چکر اور شگافوں کے مقامات کا فیصلہ فوریر تسلسل کی مدد سے کیا جاتا ہے۔ فوریر تسلسل میں موسیقائی جزو کم سے کم اور بنیادی جزو زیادہ سے زیادہ رکھا جاتا ہے۔

ساکن لچھوں کی طرح متحرک لچھوں کو بھی ایک سے زیادہ چھوٹے لچھوں میں تقسیم کیا جاتا ہے تاکہ سائن نما مقناطیسی دباؤ حاصل ہو۔

## 5.5 مقناطیسی دباؤ کی گھومتی امواج

گھومتے مشین کے لچھوں کو برقی دباؤ فراہم کیا جاتا ہے جس سے اس کا گھومنے والا حصہ حرکت میں آتا ہے۔ یہاں ہم اس بات کا مطالعہ کرتے ہیں کہ گھومنے کی حرکت کیسے پیدا ہوتی ہے۔

## 5.5.1 ایک دور کی لپٹی مشین

مساوات 5.33 میں ایک لچھے کا مقناطیسی دباؤ

$$(5.35) \quad \tau_a = k_w \frac{4 N i}{\pi} \cos \theta$$

دیا گیا ہے جو سائن نما برقی رو

$$(5.36) \quad i_a = I_0 \cos \omega t$$

کی صورت میں

$$(5.37) \quad \tau_a = k_w \frac{4 N I_0}{\pi} \cos \theta \cos \omega t = \tau_0 \cos \theta \cos \omega t$$

مقناطیسی دباؤ دے گا جہاں  $\tau_0$  درج ذیل ہے اور لچھا کے برقی رو کو  $i_a$  کہا گیا ہے۔

$$(5.38) \quad \tau_0 = k_w \frac{4 N I_0}{\pi}$$

مساوات 5.37 کہتی ہے کہ مقناطیسی دباؤ زاویہ  $\theta$  اور لمحہ  $t$  کے ساتھ تبدیل ہوتا ہے۔ مساوات 5.37 کو کلیہ

$$(5.39) \quad \cos \alpha \cos \beta = \frac{\cos(\alpha + \beta) + \cos(\alpha - \beta)}{2}$$

کی مدد سے دو ٹکڑوں

$$(5.40) \quad \tau_a = \tau_0 \left[ \frac{\cos(\theta + \omega t) + \cos(\theta - \omega t)}{2} \right] = \tau_a^- + \tau_a^+$$

میں تقسیم کیا جاسکتا ہے جہاں  $\tau_a^-$  اور  $\tau_a^+$  درج ذیل ہوں گے۔

$$(5.41) \quad \tau_a^- = \frac{\tau_0}{2} \cos(\theta + \omega t)$$

$$(5.42) \quad \tau_a^+ = \frac{\tau_0}{2} \cos(\theta - \omega t)$$

مساوات 5.40 کہتی ہے کہ مقناطیسی دباؤ دو آپس میں مخالف رخ گھومتے مقناطیسی دباؤ کی موجوں کا مجموعہ ہے۔ اس کا پہلا جزو  $\tau_a^-$  زاویہ  $\theta$  گھٹنے کے رخ، یعنی گھڑی وار، گھومتا ہے جبکہ اس کا دوسرا جزو  $\tau_a^+$  خلاف گھڑی، زاویہ بڑھنے کے رخ، گھومتا ہے۔

ایک دور کی لپٹی مشینوں میں گھومتے مقناطیسی دباؤ کی امواج میں سے کسی ایک کو بالکل ختم یا کم سے کم کرنے کی کوشش کی جاتی ہے۔ اس طرح ایک ہی رخ مقناطیسی دباؤ گھومتا ملے گا جو بالکل ایک گھومتے ہوئے مقناطیس کی مانند ہو گا۔ تین دوری مشینوں میں ایسا کرنا نہایت آسان ہوتا ہے لہذا انہیں پہلے سمجھ لینا زیادہ بہتر ہو گا۔

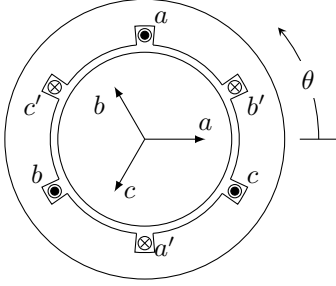
### 5.5.2 تین دوری لپٹی مشین کا تحلیلی تجزیہ

شکل 5.20 میں تین دور کی لپٹی مشین دکھائی گئی ہے۔ مساوات 5.30، 5.31 اور 5.32 میں ایسے تین لچھوں کے فوریز تسلسل کے بنیادی اجزاء دیے گئے ہیں جن میں جزو پھیلاؤ  $k_w$  شامل کر کے دوبارہ پیش کرتے ہیں۔

$$(5.43) \quad \begin{aligned} \tau_a &= k_w \frac{4}{\pi} \frac{N_a i_a}{2} \cos \theta \\ \tau_b &= k_w \frac{4}{\pi} \frac{N_b i_b}{2} \cos(\theta - 120^\circ) \\ \tau_c &= k_w \frac{4}{\pi} \frac{N_c i_c}{2} \cos(\theta + 120^\circ) \end{aligned}$$

ان لچھوں میں بالترتیب تین دوری برقی رو

$$(5.44) \quad \begin{aligned} i_a &= I_0 \cos(\omega t + \alpha) \\ i_b &= I_0 \cos(\omega t + \alpha - 120^\circ) \\ i_c &= I_0 \cos(\omega t + \alpha + 120^\circ) \end{aligned}$$



$$\begin{aligned}\tau_a &= \tau_0 \cos(\omega t + \theta_0) \cos(\theta) \\ \tau_b &= \tau_0 \cos(\omega t + \theta_0 - 120^\circ) \cos(\theta - 120^\circ) \\ \tau_c &= \tau_0 \cos(\omega t + \theta_0 + 120^\circ) \cos(\theta + 120^\circ)\end{aligned}$$

شکل 5.20: تین دور کی لپٹی مشین۔

لینے سے مساوات 5.43 درج ذیل صورت اختیار کرتی ہیں۔

$$\begin{aligned}\tau_a &= k_w \frac{4}{\pi} \frac{N_a I_0}{2} \cos \theta \cos(\omega t + \alpha) \\ \tau_b &= k_w \frac{4}{\pi} \frac{N_b I_0}{2} \cos(\theta - 120^\circ) \cos(\omega t + \alpha - 120^\circ) \\ \tau_c &= k_w \frac{4}{\pi} \frac{N_c I_0}{2} \cos(\theta + 120^\circ) \cos(\omega t + \alpha + 120^\circ)\end{aligned}\quad (5.45)$$

تینوں لچھوں کے چکر ایک دوسرے کے برابر

$$N_a = N_b = N_c = N$$

لیتے ہوئے مساوات 5.39 کی استعمال سے

$$\begin{aligned}\tau_a &= \frac{\tau_0}{2} [\cos(\theta + \omega t + \alpha) + \cos(\theta - \omega t - \alpha)] \\ \tau_b &= \frac{\tau_0}{2} [\cos(\theta + \omega t + \alpha - 240^\circ) + \cos(\theta - \omega t - \alpha)] \\ \tau_c &= \frac{\tau_0}{2} [\cos(\theta + \omega t + \alpha + 240^\circ) + \cos(\theta - \omega t - \alpha)]\end{aligned}\quad (5.46)$$

لکھے جاسکتے ہیں جہاں  $\tau_0$  درج ذیل ہے۔

$$\tau_0 = k_w \frac{4}{\pi} \frac{N I_0}{2} \quad (5.47)$$

کل مقناطیسی دباؤ  $\tau$  ان سب کا مجموعہ ہو گا۔ انہیں جمع کرنے سے پہلے ہم درج ذیل ثابت کرتے ہیں۔

$$\cos \gamma + \cos(\gamma - 240^\circ) + \cos(\gamma + 240^\circ) = 0$$

ہم کلیات

$$\cos(\alpha + \beta) = \cos \alpha \cos \beta - \sin \alpha \sin \beta$$

$$\cos(\alpha - \beta) = \cos \alpha \cos \beta + \sin \alpha \sin \beta$$

میں  $\gamma$  اور  $\alpha = 240^\circ$  لے کر

$$\cos(\gamma + 240^\circ) = \cos \gamma \cos 240^\circ - \sin \gamma \sin 240^\circ$$

$$\cos(\gamma - 240^\circ) = \cos \gamma \cos 240^\circ + \sin \gamma \sin 240^\circ$$

حاصل کرتے ہیں جن میں  $\sin 240^\circ = -\frac{\sqrt{3}}{2}$  اور  $\cos 240^\circ = -\frac{1}{2}$  پر کر کے درج ذیل حاصل ہو گا۔

$$\cos(\gamma + 240^\circ) = -\frac{1}{2} \cos \gamma + \frac{\sqrt{3}}{2} \sin \gamma$$

$$\cos(\gamma - 240^\circ) = -\frac{1}{2} \cos \gamma - \frac{\sqrt{3}}{2} \sin \gamma$$

ان مساوات کو  $\cos \gamma$  کے ساتھ جمع کرنے سے صفر حاصل ہو گا۔

$$\cos \gamma + \cos(\gamma + 240^\circ) + \cos(\gamma - 240^\circ) = 0$$

لئے اس مساوات کو درج ذیل لکھا جاسکتا ہے۔

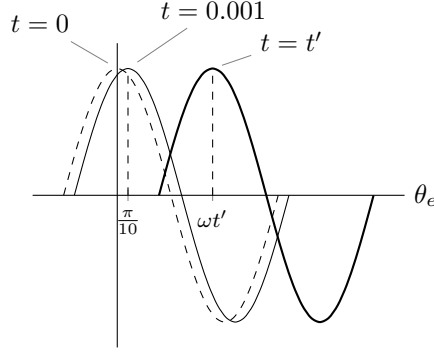
$$(5.48) \quad \cos(\theta + \omega t + \alpha) + \cos(\theta + \omega t + \alpha + 240^\circ) + \cos(\theta + \omega t + \alpha - 240^\circ) = 0$$

اب مساوات 5.46 میں دئے  $\tau_a$ ،  $\tau_b$  اور  $\tau_c$  کو جمع کر کے مساوات 5.48 کا استعمال کرتے ہوئے درج ذیل حاصل ہو گا۔

$$(5.49) \quad \tau^+ = \tau_a + \tau_b + \tau_c = \frac{3\tau_0}{2} \cos(\theta - \omega t - \alpha)$$

مساوات 5.49 کہتی ہے کہ کل مقناطیسی دباؤ کا حیثہ کسی ایک لمحے کے مقناطیسی دباؤ کے حیثہ کا  $\frac{3}{2}$  گنا ہو گا۔ مزید مقناطیسی دباؤ کی موج گھڑی کے مخالف رخ گھومے گی۔ یوں تین لچھوں کو  $120^\circ$  زاویہ پر رکھنے اور انہیں تین دوری برقی رو، جو آپس میں  $120^\circ$  پر ہوں، سے ہیجان کرنے سے مقناطیسی دباؤ کی واحد ایک موج وجود میں آتی ہے۔ یہاں اس بات کا ذکر کرنا ضروری ہے کہ کسی دو برقی رو کو آپس میں تبدیل کرنے سے مقناطیسی موج کا رخ تبدیل ہوتا ہے۔

مساوات 5.49 ایک گھومتے موج کو ظاہر کرتی ہے جس میں ہم برقی رو کا تعدد 50 Hz اور اپنی آسانی کے لئے  $\alpha$  کو صفر لیتے ہیں۔ یوں اس موج کی چوٹی کا تعین تفاعل  $\cos(\theta - \omega t)$  کرے گا۔ تفاعل  $\cos(\theta - \omega t)$  کی چوٹی پر نظر رکھیں۔ تفاعل  $\cos(\theta - \omega t)$  کی چوٹی اکائی ہے جو  $\theta - \omega t = 0$  پر پائی جاتی ہے۔



شکل 5.21: حرکت کرتی موج۔

ابتدائی لمحہ  $t = 0$  پر  $\cos(\theta - \omega t)$  کی چوٹی  $\theta - \omega t = 0$  پر ہوگی جس کو  $t = 0$  کے لئے حل کرتے ہیں۔

$$\begin{aligned}\theta - \omega t &= 0 \\ \theta - \omega \times 0 &= 0 \\ \theta &= 0\end{aligned}$$

یوں موج کی چوٹی صفر برقی زاویہ پر ہوگی جسے شکل 5.21 میں نقطہ دار لکیر سے ظاہر کیا گیا ہے۔ ہم کچھ وقفہ، مثلاً  $t = 0.001$  سیکنڈ، بعد اس چوٹی پر دوبارہ نظر ڈالتے ہیں۔

$$\begin{aligned}\theta - \omega t &= 0 \\ \theta - 0.001\omega &= 0 \\ \theta &= 0.001\omega \\ &= 0.001 \times 2 \times \pi \times 50 \\ &= 0.3142 \text{ rad}\end{aligned}$$

اب یہ چوٹی  $0.3142$  یا  $\frac{\pi}{10}$  برقی ریڈین یعنی  $18^\circ$  برقی زاویہ پر ہے جسے شکل 5.21 میں باریک ٹھوس لکیر سے ظاہر کیا گیا ہے۔ آپ دیکھ سکتے ہیں کہ مقناطیسی دباؤ کی موج گھڑی کے مخالف رخ، یعنی زاویہ بڑھنے کے رخ، گھوم گئی ہے۔ اسی طرح لمحہ  $t = 0.002$  پر چوٹی  $36^\circ$  برقی زاویہ پر نظر آئے گی۔ عمومی لمحہ  $t'$  پر چوٹی کا مقام  $\theta - \omega t' = 0$  سے درج ذیل حاصل ہوگا جسے موٹی ٹھوس لکیر سے ظاہر کیا گیا ہے۔

$$(5.50) \quad \theta = \omega t'$$



مساوات 5.50 کہتی ہے کہ چوٹی کا مقام تعین کرنے والا زاویہ وقت کے ساتھ بتدریج بڑھتا ہے۔ اس مساوات سے ایک مکمل چکر یعنی  $2\pi = \theta$  برقی زاویہ طے کرنے کا دورانیہ  $T$  حاصل کرتے ہیں۔

$$(5.51) \quad T = t' = \frac{\theta}{\omega} = \frac{2\pi}{2\pi f} = \frac{1}{f}$$

یاد رہے  $f$  برقی رو کا تعدد ہے۔ یوں 50 ہرٹز برقی رو کی صورت میں مقناطیسی دباؤ کی موج ہر  $0.02 = \frac{1}{50}$  سیکنڈ میں ایک مکمل برقی چکر کاٹے گی اور ایک سیکنڈ میں 50 برقی چکر مکمل کرے گی۔

دو قطبی مشینوں میں مساوات 5.7

$$(5.52) \quad \theta_e = \frac{P}{2} \theta_m$$

کے تحت برقی زاویہ  $\theta_e$  اور میکانی زاویہ  $\theta_m$  ایک دوسرے کے برابر ہوں گے۔ یوں دو قطبی مشینوں کی بات کرتے ہوئے مساوات 5.51 کے تحت ایک سیکنڈ میں مقناطیسی دباؤ کی موج  $f$  برقی یا میکانی چکر مکمل کرے گی جہاں  $f$  برقی رو کی تعدد ہے۔  $P$  قطبی مشینوں کے مقناطیسی دباؤ کی موج ایک سیکنڈ میں  $f$  مقناطیسی چکر یعنی  $\frac{2}{P}f$  میکانی شکر مکمل کرے گی۔

ہم مساوات 5.52 کی دونوں اطراف کا وقت کے ساتھ تفرق لیتے ہیں۔

$$\frac{d\theta_e}{dt} = \frac{P}{2} \frac{d\theta_m}{dt}$$

اب  $\frac{d\theta_e}{dt}$  برقی زاویائی رفتار  $\omega_e$  اور  $\frac{d\theta_m}{dt}$  میکانی زاویائی رفتار  $\omega_m$  کو ظاہر کرتے ہیں۔ اسی طرح برقی رو کی تعدد کو  $f_e$ ، مقناطیسی دباؤ کی موج کی چوٹی کے برقی زاویہ کو  $\theta_e$ ، میکانی زاویہ کو  $\theta_m$  اور مقناطیسی دباؤ کی موج کی برقی زاویائی رفتار کو  $\omega_e$  اور میکانی زاویائی رفتار کو  $\omega_m$  سے ظاہر کرتے ہوئے درج ذیل ہوں گے۔

$$(5.53) \quad \begin{aligned} \omega_m &= \frac{2}{P} \omega_e \quad \text{rad/s} \\ f_m &= \frac{2}{P} f_e \quad \text{Hz} \\ n &= \frac{120 f_e}{P} \quad \text{چکر فی سیکنڈ} \end{aligned}$$

مقناطیسی موج کی برقی معاصر زاویائی رفتار  $\omega_e$  برقی زاویہ فی سیکنڈ اور میکانی معاصر زاویائی رفتار  $\omega_m$  میکانی زاویہ فی سیکنڈ ہوگی۔ اسی طرح موج کی برقی معاصر رفتار  $f_e$  برقی ہرٹز اور میکانی معاصر رفتار  $f_m$  میکانی ہرٹز ہوگی۔ برقی

معاصر رفتار  $f_e$  ہرٹز ہونے سے مراد ہے کہ ایک سیکنڈ میں موج  $f_e$  برقی چکر کا فاصلہ طے کرتی ہے جو دو قطب کا یعنی  $2\pi$  ریڈین کا میکانی زاویہ ہے۔ اسی طرح میکانی معاصر رفتار  $f_m$  ہرٹز ہونے کا مطلب ہے کہ موج ایک سیکنڈ میں  $f_m$  میکانی چکر کا فاصلہ طے کرے گی۔ ایک میکانی چکر روز مرہ زندگی میں ایک چکر کو ہی کہتے ہیں۔ اس مساوات میں  $n$ ، میکانی چکر فی منٹ<sup>37</sup> کو ظاہر کرتی ہے۔ مساوات 5.53 معاصر رفتار کی مساوات ہے۔

یہاں اس بات کا ذکر کرنا ضروری ہے کہ  $q$  دور کی لپٹی مشین جس کے لچھے  $\frac{2\pi}{q}$  برقی زاویہ پر رکھے گئے ہوں اور جن میں برقی رو  $q$  دوری ہو میں، تین دوری مشین کی طرح، ایک ہی رخ گھومتے مقتناطیسی دباؤ کی موج پیدا ہو گی۔ مزید، اس موج کا حیثہ کسی ایک لچھے کے مقتناطیسی دباؤ کے حیثہ کا  $\frac{q}{2}$  گنا ہو گا اور اس کی زاویائی رفتار  $\omega_e = 2\pi f$  برقی ریڈین فی سیکنڈ ہو گی۔

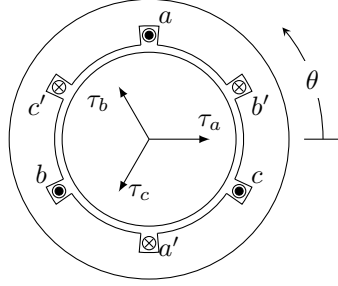
### 5.5.3 تین دور کی لپٹی مشین کا تریسی تجربہ

شکل 5.22 میں تین دور کی لپٹی مشین دکھائی گئی ہے جس میں مثبت برقی رو کے رخ دکھائے گئے ہیں۔ یوں  $a$  شکاف میں برقی رو کا رخ صفحہ سے عمودی باہر کو ہے جسے نقطہ سے ظاہر کیا گیا ہے۔ اسی طرح  $a'$  شکاف میں برقی رو کا رخ صفحہ میں عمودی اندر کو ہے اور جسے صلیب کے نشان سے ظاہر کیا گیا ہے۔ یوں شکاف  $a$  اور  $a'$  میں مثبت برقی رو کا مقتناطیسی دباؤ  $\pi_a$  صفر زاویہ پر ہو گا جو عین لچھا  $a$  کا رخ ہے۔ لچھے میں برقی رو سے پیدا مقتناطیسی دباؤ کا رخ دائیں ہاتھ کے قانون سے معلوم کیا جاسکتا ہے۔

اب اگر لچھا  $a$  میں برقی رو منفی ہو تب برقی رو مثبت رخ کے مخالف ہو گا، یعنی اب برقی رو کا رخ شکاف  $a$  میں صفحہ کے عمودی اندر اور شکاف  $a'$  میں صفحہ کے عمودی باہر ہو گا۔ یوں منفی برقی رو سے پیدا مقتناطیسی دباؤ بھی لچھا  $a$  کے رخ کا مخالف ہو گا۔ آپ نے دیکھا کہ برقی رو منفی ہونے سے مقتناطیسی دباؤ کا رخ الٹ ہو جاتا ہے۔ شکل 5.22 میں لچھوں کے برقی رو اور مقتناطیسی دباؤ درج ذیل ہیں جبکہ ان کے مثبت رخ شکل میں دیے گئے ہیں۔

$$\begin{aligned} i_a &= I_0 \cos \omega t \\ i_b &= I_0 \cos(\omega t - 120^\circ) \\ i_c &= I_0 \cos(\omega t + 120^\circ) \end{aligned} \quad (5.54)$$

<sup>37</sup>rpm, rounds per minute



شکل 5.22: تین دور کی لپٹی مشین میں مثبت برقی رد اور ان سے حاصل مقناطیسی دباؤ کے رخ۔

$$\begin{aligned}
 \tau_a &= k_w \frac{4 N i_a}{\pi} \frac{1}{2} = k_w \frac{4 N I_0}{\pi} \frac{1}{2} \cos \omega t = \tau_0 \cos \omega t \\
 \tau_b &= k_w \frac{4 N i_b}{\pi} \frac{1}{2} = k_w \frac{4 N I_0}{\pi} \frac{1}{2} \cos(\omega t - 120^\circ) = \tau_0 \cos(\omega t - 120^\circ) \\
 \tau_c &= k_w \frac{4 N i_c}{\pi} \frac{1}{2} = k_w \frac{4 N I_0}{\pi} \frac{1}{2} \cos(\omega t + 120^\circ) = \tau_0 \cos(\omega t + 120^\circ)
 \end{aligned}
 \quad (5.55)$$

ہم مختلف لمحات پر ان کی قیمتوں تلاش کرتے ہیں اور ان کا مجموعی مقناطیسی دباؤ حاصل کرتے ہیں۔

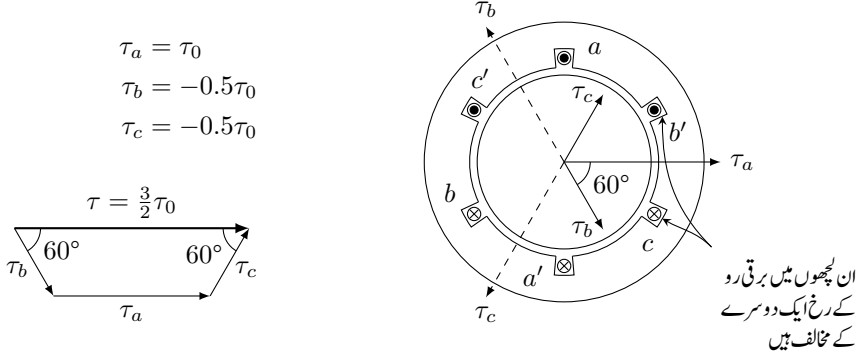
لحہ 0 پر ان درج بالا مساوات سے درج ذیل حاصل ہو گا۔

$$\begin{aligned}
 i_a &= I_0 \cos 0 = I_0 \\
 i_b &= I_0 \cos(0 - 120^\circ) = -0.5 I_0 \\
 i_c &= I_0 \cos(0 + 120^\circ) = -0.5 I_0
 \end{aligned}
 \quad (5.56)$$

$$\begin{aligned}
 \tau_a &= \tau_0 \cos 0 = \tau_0 \\
 \tau_b &= \tau_0 \cos(0 - 120^\circ) = -0.5 \tau_0 \\
 \tau_c &= \tau_0 \cos(0 + 120^\circ) = -0.5 \tau_0
 \end{aligned}
 \quad (5.57)$$

یہاں رکھ کر ذرا غور کریں۔ لحہ 0 پر  $i_a$  مثبت جبکہ  $i_b$  اور  $i_c$  منفی ہیں۔ یوں  $i_a$  کا رخ وہی ہو گا جسے شکل 5.22 کی  $a$  اور  $a'$  شگافوں میں نقطے اور صلیب سے دکھایا گیا ہے جبکہ  $i_b$  اور  $i_c$  کے رخ شکل میں دیے گئے رخ کے مخالف ہوں گے۔ لحہ 0 پر تینوں برقی رو کے درست رخ اور تینوں مقناطیسی دباؤ شکل 5.23 میں دکھائے گئے ہیں۔

کل مقناطیسی دباؤ یا آسانی بذریعہ ترسیم (شکل 5.23)، مجموعہ سمتیات سے یا الجبرا کے ذریعہ حاصل کیا جاسکتا



شکل 5.23: لمحہ  $t_0 = 0$  پر برقی رو اور مقناطیسی دباؤ۔

ہے۔

$$\begin{aligned}
 \tau_a &= \tau_0 \mathbf{a}_x \\
 \tau_b &= 0.5\tau_0 [\cos(60^\circ)\mathbf{a}_x - \sin(60^\circ)\mathbf{a}_y] \\
 \tau_c &= 0.5\tau_0 [\cos(60^\circ)\mathbf{a}_x + \sin(60^\circ)\mathbf{a}_y]
 \end{aligned}
 \quad (5.58)$$

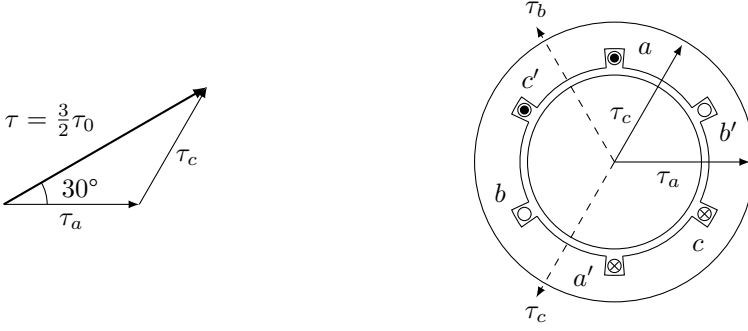
ان کا مجموعہ درج ذیل ہو گا۔

$$\tau = \tau_a + \tau_b + \tau_c = \frac{3}{2}\tau_0 \mathbf{a}_x \quad (5.59)$$

لمحہ  $t = 0$  پر کل مقناطیسی دباؤ ایک لچھے کے مقناطیسی دباؤ کا ڈیڑھ گنا اور صفر زاویہ پر ہے۔

اب ہم گھڑی کو چلنے دیتے ہیں اور کچھ وقفہ بعد لمحہ  $t_1$  پر دوبارہ مقناطیسی دباؤ تلاش کرتے ہیں۔ مساوات 5.54 اور مساوات 5.55 میں متغیر  $t$  کی بجائے  $\omega t$  کا استعمال زیادہ آسان ہے لہذا ہم لمحہ  $t_1$  یوں منتخب کرتے ہیں کہ  $\omega t_1 = 30^\circ$  ایسا کرنے سے درج ذیل حاصل ہو گا جنہیں شکل 5.24 میں دکھایا گیا ہے۔

$$\begin{aligned}
 i_a &= I_0 \cos 30^\circ = \frac{\sqrt{3}}{2} I_0 \\
 i_b &= I_0 \cos(30^\circ - 120^\circ) = 0 \\
 i_c &= I_0 \cos(30^\circ + 120^\circ) = -\frac{\sqrt{3}}{2} I_0
 \end{aligned}
 \quad (5.60)$$



شکل 5.24: لمحہ  $30^\circ$  پر برقی رد اور مقناطیسی دباؤ۔

$$\begin{aligned}
 \tau_a &= \tau_0 \cos 30^\circ = \frac{\sqrt{3}}{2} \tau_0 \\
 \tau_b &= \tau_0 \cos(30^\circ - 120^\circ) = 0 \\
 \tau_c &= \tau_0 \cos(30^\circ + 120^\circ) = -\frac{\sqrt{3}}{2} \tau_0
 \end{aligned}
 \tag{5.61}$$

کل مقناطیسی دباؤ کا طول  $\tau$  اور زاویہ تکون سے حاصل کرتے ہیں۔

$$\tau = \sqrt{\tau_a^2 + \tau_c^2 - 2\tau_a\tau_c \cos 120^\circ} = \frac{3}{2} \tau_0
 \tag{5.62}$$

تکون کے دو اطراف کی لمبائیاں ایک دوسرے کے برابر اور ان کے بیچ زاویہ  $60^\circ$  ہے لہذا مقناطیسی دباؤ کا زاویہ افقی لکیر سے  $30^\circ$  ہو گا۔

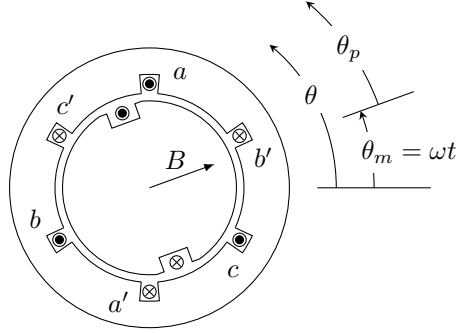
کل مقناطیسی دباؤ جو پہلے صفر زاویہ پر تھا اب گھڑی کے مخالف رخ گھوم کر  $30^\circ$  زاویہ پر ہے۔ اسی طرح لمحہ  $\omega t = 40^\circ$  پر حل کرنے سے زاویہ  $45^\circ$  پر کل مقناطیسی دباؤ  $\frac{3}{2}\tau_0$  حاصل ہو گا۔ عمومی لمحہ  $t$ ، جس پر  $\omega t = \theta^\circ$  ہو، زاویہ  $\theta^\circ$  پر کل مقناطیسی دباؤ  $\frac{3}{2}\tau_0$  پیدا کرتا ہے۔

## 5.6 محرک برقی دباؤ

یہاں محرک برقی دباؤ<sup>38</sup> کو ایک دوسرے نقطہ نظر سے پیش کرتے ہیں۔

<sup>38</sup> ابتداء میں حرکت سے پیدا ہونے والی برقی دباؤ کو محرک برقی دباؤ کہتے تھے۔ اب روایتی طور پر کسی بھی طرح پیدا کردہ برقی دباؤ کو محرک برقی دباؤ کہتے ہیں۔

$$\begin{aligned}
 B &= B_0 \cos \theta_p \\
 &= B_0 \cos(\theta - \theta_m) \\
 &= B_0 \cos(\theta - \omega t)
 \end{aligned}$$



شکل 5.25: بنیادی بدلتاروجنریٹر۔

### 5.6.1 بدلتاروجنریٹر

شکل 5.25 میں ایک بنیادی بدلتاروجنریٹر<sup>39</sup> دکھایا گیا ہے۔ اس کا گھومتا برقی مقناطیس، خلائی درز میں سائن نما مقناطیسی دباو پیدا کرتا ہے جس سے درز میں سائن نمائندگی مقناطیسی بہاؤ  $B$  پیدا ہوتا ہے:

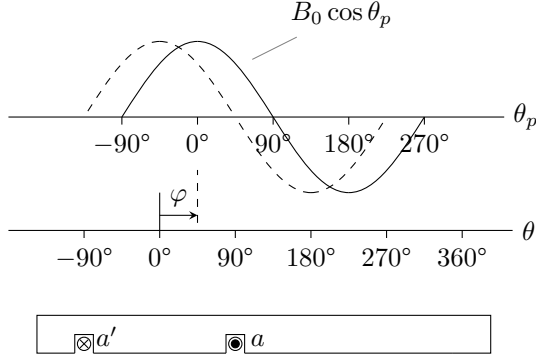
$$(5.63) \quad B = B_0 \cos \theta_p$$

یہ مقناطیس  $\omega$  زاویاتی رفتار سے گھوم رہا ہے۔ ابتدائی لمحہ  $t = 0$  پر اس مقناطیس کو لچھا  $a$  کے رخ افقی لکیر پر تصور کریں۔ یوں لمحہ  $t$  پر مقناطیس گھوم کر زاویہ  $\theta_m = \omega t$  پر ہو گا۔ اس طرح بالا مساوات درج ذیل لکھی جاسکتی ہے۔

$$\begin{aligned}
 (5.64) \quad B &= B_0 \cos(\theta - \theta_m) \\
 &= B_0 \cos(\theta - \omega t)
 \end{aligned}$$

شکل 5.26 میں  $B$  کو زاویہ  $\theta$  اور  $\theta_p$  کے ساتھ ترسیم کیا گیا ہے اور ساتھ ہی لچھا  $a$  دکھایا گیا ہے۔ لمحہ  $t = 0$  پر، جب گھومتے برقی مقناطیس کا محور اور لچھا  $a$  کا محور ایک رخ ہیں،  $B$  کو نقطہ دار لکیر سے ظاہر کیا ہے جبکہ عمومی لمحہ  $t$  پر  $B$  کو ٹھوس لکیر سے ظاہر کیا گیا ہے۔ چونکہ  $B$  کی چوٹی ہر صورت  $\theta_p = 0^\circ$  پر ہوگی لہذا ترسیم میں محور  $\theta_p$  پر دکھائے گئے زاویات  $90^\circ$  تا  $270^\circ$  عمومی لمحہ  $t$  کے لئے درست ہیں ناکہ لمحہ  $t = 0^\circ$  کے لئے۔ لمحہ  $t = 0$  پر  $B$  کی چوٹی عین  $\theta = 0^\circ$  پر ہوگی۔ عمومی لمحہ  $t$  پر برقی مقناطیس کے محور اور لچھے کے محور کے بیچ  $\vartheta$  زاویہ ہے۔ یہ زاویہ برقی مقناطیس کے گھومنے کی رفتار  $\omega$  پر منحصر ہو گا۔

$$(5.65) \quad \vartheta = \omega t$$



شکل 5.26: لچھے میں سے گزرتا مقناطیسی بہاؤ۔

لحہ  $t = 0$  پر لچھا  $a$  میں مقناطیسی بہاؤ زیادہ سے زیادہ ہو گا۔ خلائی درز باریک ہونے کی بنا درز کی اندرونی اور بیرونی رداس کو ایک دوسرے کے برابر تصور کیا جاسکتا ہے۔ برقی مقناطیس کے گھومنے کی محور سے خلائی درز تک کا اوسط رداسی فاصلہ  $\rho$  اور برقی مقناطیس کی محوری لمبائی  $l$ <sup>40</sup> ہونے کی صورت میں لچھے میں مقناطیسی بہاؤ وہی ہو گا جو خلائی درز میں  $-\frac{\pi}{2} < \theta < \frac{\pi}{2}$  کے بیچ ہے۔ لحہ  $t = 0$  پر لچھا  $a$  سے گزرتا بہاؤ تلاش کرتے ہیں۔

$$\begin{aligned}
 \phi_a(0) &= \int_{-\frac{\pi}{2}}^{+\frac{\pi}{2}} \mathbf{B} \cdot d\mathbf{S} \\
 &= \int_{-\frac{\pi}{2}}^{+\frac{\pi}{2}} (B_0 \cos \theta_p)(l\rho d\theta_p) \\
 (5.66) \quad &= B_0 l \rho \sin \theta_p \Big|_{-\frac{\pi}{2}}^{+\frac{\pi}{2}} \\
 &= 2B_0 l \rho \\
 &= \phi_0
 \end{aligned}$$

axial length<sup>40</sup>

آخری قدم پر  $\phi_a(0)$  کو  $\phi_0$  کہا گیا ہے۔ یہی حساب لمحہ  $t$  پر درج ذیل ہو گا جہاں آخری قدم پر  $\vartheta = \omega t$  لیا گیا ہے۔

$$\begin{aligned}
 \phi_a(t) &= \int_{-\frac{\pi}{2}-\vartheta}^{+\frac{\pi}{2}-\vartheta} \mathbf{B} \cdot d\mathbf{S} \\
 &= \int_{-\frac{\pi}{2}-\vartheta}^{+\frac{\pi}{2}-\vartheta} (B_0 \cos \theta_p) (l \rho d\theta_p) \\
 (5.67) \quad &= B_0 l \rho \sin \theta_p \Big|_{-\frac{\pi}{2}-\vartheta}^{+\frac{\pi}{2}-\vartheta} \\
 &= 2B_0 l \rho \cos \vartheta \\
 &= 2B_0 l \rho \cos \omega t
 \end{aligned}$$

اسی بہاو کو درج ذیل طریقہ سے بھی حاصل کیا جا سکتا ہے۔

$$\begin{aligned}
 \phi_a(t) &= \int_{-\frac{\pi}{2}}^{+\frac{\pi}{2}} \mathbf{B} \cdot d\mathbf{S} \\
 &= \int_{-\frac{\pi}{2}}^{+\frac{\pi}{2}} (B_0 \cos(\theta - \omega t)) (l \rho d\theta) \\
 (5.68) \quad &= B_0 l \rho \sin(\theta - \omega t) \Big|_{-\frac{\pi}{2}}^{+\frac{\pi}{2}} \\
 &= B_0 l \rho \left[ \sin\left(\frac{\pi}{2} - \omega t\right) - \sin\left(-\frac{\pi}{2} - \omega t\right) \right] \\
 &= 2B_0 l \rho \cos \omega t
 \end{aligned}$$

اس مرتبہ مکمل کو زاویہ  $\theta$  کے ساتھ حاصل کیا گیا ہے۔ مساوات 5.66 کی مدد سے  $\phi_a(t)$  کو درج ذیل لکھا جا سکتا ہے۔

$$(5.69) \quad \phi_a(t) = 2B_0 l \rho \cos \omega t = \phi_0 \cos \omega t$$

مساوات 5.68 کی طرح  $b$  اور  $c$  لچھوں کے مقناطیسی بہاو کی مساواتیں بھی حاصل کی جا سکتی ہیں۔ شکل 5.25 میں زاویہ  $-\frac{\pi}{2}$  سے  $+\frac{\pi}{2}$  تک کا مقناطیسی بہاو لچھا  $a$  میں گزرتا ہے۔ اس لئے  $\phi_a(t)$  معلوم کرنے کے لئے مساوات 5.68 میں مکمل کی حدیں یہی رکھی گئیں تھیں۔ یوں لچھا  $b$  کے مکمل کی حدیں  $+\frac{\pi}{6}$  اور  $+\frac{7\pi}{6}$  جبکہ  $c$  کی حد  $+\frac{5\pi}{6}$



اور  $+\frac{11\pi}{6}$  ہوں گی۔ تمام زاویات ریڈیئن میں دیے گئے ہیں۔ یوں درج ذیل ہو گا۔

$$\begin{aligned}
 \phi_b(t) &= \int_{\frac{\pi}{6}}^{\frac{7\pi}{6}} \mathbf{B} \cdot d\mathbf{S} \\
 &= \int_{\frac{\pi}{6}}^{\frac{7\pi}{6}} (B_0 \cos(\theta - \omega t))(l\rho d\theta) \\
 (5.70) \quad &= B_0 l\rho \sin(\theta - \omega t) \Big|_{\frac{\pi}{6}}^{\frac{7\pi}{6}} \\
 &= B_0 l\rho \left[ \sin\left(\frac{7\pi}{6} - \omega t\right) - \sin\left(\frac{\pi}{6} - \omega t\right) \right] \\
 &= 2B_0 l\rho \cos\left(\omega t - \frac{2\pi}{3}\right)
 \end{aligned}$$

اور

$$\begin{aligned}
 \phi_c(t) &= \int_{\frac{5\pi}{6}}^{\frac{11\pi}{6}} \mathbf{B} \cdot d\mathbf{S} \\
 &= \int_{\frac{5\pi}{6}}^{\frac{11\pi}{6}} (B_0 \cos(\theta - \omega t))(l\rho d\theta) \\
 (5.71) \quad &= B_0 l\rho \sin(\theta - \omega t) \Big|_{\frac{5\pi}{6}}^{\frac{11\pi}{6}} \\
 &= B_0 l\rho \left[ \sin\left(\frac{11\pi}{6} - \omega t\right) - \sin\left(\frac{5\pi}{6} - \omega t\right) \right] \\
 &= 2B_0 l\rho \cos\left(\omega t + \frac{2\pi}{3}\right)
 \end{aligned}$$

ایک لچھا  $N$  چکری تصور کرتے ہوئے تینوں لچھوں میں پیدا برقی دباؤ معلوم کرتے ہیں۔ لچھوں میں ارتباط بہاؤ درج ذیل ہو گا۔

$$\begin{aligned}
 \lambda_a &= N\phi_a(t) = N\phi_0 \cos \omega t \\
 (5.72) \quad \lambda_b &= N\phi_b(t) = N\phi_0 \cos(\omega t - 120^\circ) \\
 \lambda_c &= N\phi_c(t) = N\phi_0 \cos(\omega t + 120^\circ)
 \end{aligned}$$

ان مساوات میں  $\frac{2\pi}{3}$  ریڈیئن کو  $120^\circ$  لکھا گیا ہے۔ لچھوں میں پیدا امالی برقی دباو درج ذیل ہو گا۔

$$\begin{aligned} e_a(t) &= \frac{d\lambda_a}{dt} = -\omega N\phi_0 \sin \omega t \\ e_b(t) &= \frac{d\lambda_b}{dt} = -\omega N\phi_0 \sin(\omega t - 120^\circ) \\ e_c(t) &= \frac{d\lambda_c}{dt} = -\omega N\phi_0 \sin(\omega t + 120^\circ) \end{aligned} \quad (5.73)$$

ان مساوات کو

$$\begin{aligned} e_a(t) &= \omega N\phi_0 \cos(\omega t + 90^\circ) \\ e_b(t) &= \omega N\phi_0 \cos(\omega t - 30^\circ) \\ e_c(t) &= \omega N\phi_0 \cos(\omega t + 210^\circ) \end{aligned} \quad (5.74)$$

لکھا جاسکتا ہے جو آپس میں  $120^\circ$  زاویہ پر تین دوری محرک برقی دباو کو ظاہر کرتی ہیں۔ ان سب کے حیطے  $E_0$  ہیں:

$$E_0 = \omega N\phi_0 \quad (5.75)$$

یوں تینوں برقی دباو کی موثر قیمتیں  $^{41}$  درج ذیل ہوں گی۔

$$E_{\text{موثر}} = \frac{E_0}{\sqrt{2}} = \frac{2\pi f N\phi_0}{\sqrt{2}} = 4.44 f N\phi_0 \quad (5.76)$$

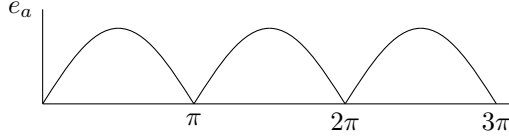
چونکہ  $\phi = BA$  ہوتا ہے لہذا مساوات 5.76 صفحہ 50 پر دی گئی مساوات 2.52 کی طرح ہے۔

خلائی درز میں برقی مقناطیسی کا مقناطیسی بہاو تصور کر کے مساوات 5.74 حاصل کی گئیں۔ حقیقت میں خلائی درز میں کسی بھی طرح یہی مقناطیسی بہاو پیدا کرنے سے یہی مساوات حاصل ہوں گی۔ یوں اگر درز میں ساکن، متحرک یا دونوں لچھے مل کر یہی مقناطیسی بہاو پیدا کریں تب یہی مساوات، یعنی یہی برقی دباو، حاصل ہوں گی۔

مساوات 5.76 ہمیں ایک گچھے میں پیدا برقی دباو دیتی ہے۔ اگر لچھا تقسیم شدہ ہو تب مختلف شگافوں میں موجود اس لچھے کے حصوں میں برقی دباو ہم قدم نہیں ہوں گے لہذا مجموعی برقی دباو ان سب کا حاصل جمع نہیں ہو گا بلکہ اس سے کچھ کم ہو گا۔ یوں پھیلے لچھے کے لئے یہ مساوات درج ذیل صورت اختیار کرتی ہے جہاں  $k_w$  جزو پھیلاؤ ہے۔

$$E_{\text{موثر}} = 4.44 k_w f N\phi_0 \quad (5.77)$$

تین دوری برقی جزیئر کے  $k_w$  کی قیمت 0.85 تا 0.95 ہوتی ہے۔ یہ مساوات ہمیں یک دوری برقی دباو دیتی ہے۔ تین دوری برقی جزیئر میں اس طرح کی تین لچھوں کی جوڑیاں ہوتی ہیں جنہیں  $Y$  یعنی ستارہ یا  $\Delta$  یعنی ٹکونی جوڑا جاتا ہے۔



شکل 5.27: ایک دوری یک سمت برقی دباؤ۔

### 5.6.2 ایک سمت رو برقی جزیئر

ہر گھومنے والا برقی جزیئر بنیادی طور پر بدلتا رو جزیئر ہوتا ہے۔ البتہ جہاں ایک سمت برقی دباؤ<sup>42</sup> کی ضرورت ہو وہاں مختلف طریقوں سے بدلتا برقی دباؤ کو ایک سمت برقی دباؤ میں تبدیل کیا جاتا ہے۔ جزیئر کے باہر برقیاتی سمٹے کار<sup>43</sup> یا جزیئر کے اندر میکانیکی سمٹے کار<sup>44</sup> نسب کر کے بدلتا دباؤ سے ایک سمت دباؤ حاصل کیا جاسکتا ہے۔ مساوات 5.73 کے  $e_a$  کو ایک سمت برقی دباؤ میں تبدیل کرنے سے شکل 5.27 حاصل ہو گا۔

مثال 5.6: شکل 5.27 میں ایک سمت برقی دباؤ دکھایا گیا ہے۔ اس ایک سمت برقی دباؤ کی اوسط قیمت حاصل کریں۔

حل:

$$E_{avg} = \frac{1}{\pi} \int_0^{\pi} \omega N \phi_0 \sin \omega t \, d(\omega t) = \frac{2\omega N \phi_0}{\pi}$$

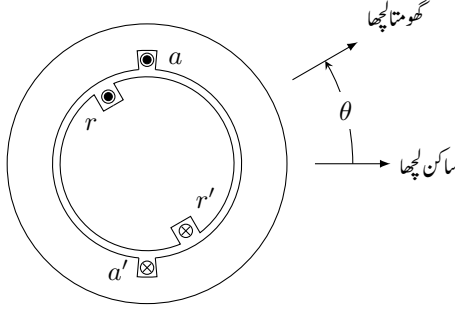
□

ایک سمت جزیئر پر باب 8 میں غور کیا جائے گا۔

### 5.7 ہموار قطب مشینوں میں قوت مروڑ

اس حصہ میں کامل مشین کی قوت مروڑ<sup>45</sup> کے حصول کے دو ترکیب پر غور کیا جائے گا۔ ایک ترکیب میں مشین کو دو مقناطیس تصور کر کے ان مقناطیسوں کے بیچ قوت کشش، قوت دفع اور قوت مروڑ حاصل کیے جائیں گے جبکہ دوسری ترکیب میں مشین کے ساکن اور گھومتے لچھوں کو امالہ تصور کر کے (باب چار کی طرح) توانائی اور ہم-توانائی سے ان کا حساب لگایا جائے گا۔ پہلے توانائی کی ترکیب پر غور کرتے ہیں۔

<sup>42</sup>DC voltage  
<sup>43</sup>rectifier  
<sup>44</sup>commutator  
<sup>45</sup>torque



شکل 5.28: ساکن امالہ اور گھومتا امالہ۔

## 5.7.1 میکانی قوت مروڑ بذریعہ ترکیب توانائی

یہاں یک دوری مشین پر غور کیا جائے گا جس سے حاصل نتائج با آسانی زیادہ دور کی مشینوں پر لاگو کیے جاسکتے ہیں۔ شکل 5.28 میں یک دوری کامل مشین دکھائی گئی ہے۔ کسی بھی لمحہ اس مشین کے دو لچھوں کے بیچ کوئی زاویہ ہو گا جسے  $\theta$  سے ظاہر کیا گیا ہے۔ خلائی درز ہر مقام پر یکساں ہے لہذا ابھرے قطب کے اثرات کو نظر انداز کیا جاتا ہے۔ مزید، قالب کا جزو مقناطیس مستقل لامتناہی ( $\mu_r \rightarrow \infty$ ) تصور کیا گیا ہے لہذا لچھوں کا امالہ صرف خلائی درز کے مقناطیسی مستقل  $\mu_0$ <sup>46</sup> پر منحصر ہو گا۔

اس طرح ساکن لچھے کا امالہ  $L_{aa}$  اور گھومے لچھے کا امالہ  $L_{rr}$  مستقل ہوں گے جبکہ ان کا مشترکہ امالہ  $L_{ar}(\theta)$  زاویہ  $\theta$  پر منحصر ہو گا۔ جس لمحہ  $\theta = 0$  یا  $\theta = \pm 2\pi$  ہو اس لمحہ ایک لچھے کا سارا مقناطیسی بہا دوسرے لچھے سے بھی گزرتا ہے اور ان کا مشترکہ امالہ زیادہ سے زیادہ ہو گا جسے  $L_{ar0}$  سے ظاہر کیا جائے گا۔ جس لمحہ  $\theta = \pm 180^\circ$  ہو اس لمحہ دوبارہ ایک لچھے کا سارا مقناطیسی بہا دوسرے لچھے سے بھی گزرتا ہے لیکن اس بار اس کا رخ الٹ ہوتا ہے لہذا ان کا مشترکہ امالہ منفی ہو گا،  $-L_{ar0}$ ، جبکہ  $\theta = \pm 90^\circ$  پر ان کا مشترکہ امالہ صفر ہو گا۔ خلائی درز میں مقناطیسی بہا سائن نما تصور کرتے ہوئے مشترکہ امالہ درج ذیل ہو گا۔

$$(5.78) \quad L_{ar} = L_{ar0} \cos \theta$$

ساکن اور گھومتے لچھوں کے ارتباط بہا (مساوات 2.33 اور مساوات 2.36 کے تحت) درج ذیل ہوں گے۔

$$(5.79) \quad \begin{aligned} \lambda_a &= L_{aa}i_a + L_{ar}(\theta)i_r = L_{aa}i_a + L_{ar0} \cos(\theta)i_r \\ \lambda_r &= L_{ar}(\theta)i_a + L_{rr}i_r = L_{ar0} \cos(\theta)i_a + L_{rr}i_r \end{aligned}$$

<sup>46</sup>magnetic constant, permeability

ساکن لچھے کی مزاحمت  $R_a$  اور گھومتے لچھے کی مزاحمت  $R_r$  لیتے ہوئے ان لچھوں کے سروں پر قانون کرخوف سے برقی دباؤ درج ذیل ہوں گے۔

$$(5.80) \quad \begin{aligned} v_a &= i_a R_a + \frac{d\lambda_a}{dt} = i_a R_a + L_{aa} \frac{di_a}{dt} + L_{ar0} \cos \theta \frac{di_r}{dt} - L_{ar0} i_r \sin \theta \frac{d\theta}{dt} \\ v_r &= i_r R_r + \frac{d\lambda_r}{dt} = i_r R_r + L_{ar0} \cos \theta \frac{di_a}{dt} - L_{ar0} i_a \sin \theta \frac{d\theta}{dt} + L_{rr} \frac{di_r}{dt} \end{aligned}$$

یہاں  $\theta$  برقی زاویہ ہے جس کی وقت کے ساتھ تبدیلی، زاویائی رفتار  $\omega$  ہو گا۔

$$(5.81) \quad \frac{d\theta}{dt} = \omega$$

میکانی قوت مروڑ بذریعہ ہم-توانائی حاصل کی جاسکتی ہے۔ ہم-توانائی صفحہ 126 پر مساوات 4.72 سے حاصل ہو گی۔ یہ مساوات موجودہ استعمال کے لئے درج ذیل صورت اختیار کرتی ہے۔

$$(5.82) \quad W'_m = \frac{1}{2} L_{aa} i_a^2 + \frac{1}{2} L_{rr} i_r^2 + L_{ar0} i_a i_r \cos \theta$$

اس سے میکانی قوت مروڑ  $T_m$  حاصل کرتے ہیں۔

$$(5.83) \quad T_m = \frac{\partial W'_m(\theta_m, i_a, i_r)}{\partial \theta_m} = \frac{\partial W'_m(\theta, i_a, i_r)}{\partial \theta} \frac{\partial \theta}{\partial \theta_m}$$

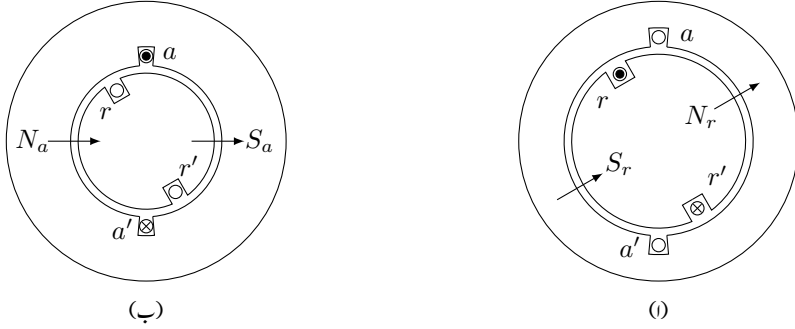
چونکہ  $P$  قطب مشینوں کے لئے درج ذیل ہوتا ہے

$$(5.84) \quad \theta = \frac{P}{2} \theta_m$$

لہذا ہمیں مساوات 5.83 سے درج ذیل حاصل ہو گا۔

$$(5.85) \quad T_m = -\frac{P}{2} L_{ar0} i_a i_r \sin \left( \frac{P}{2} \theta_m \right)$$

اس مساوات میں قوت مروڑ  $T_m$  کی علامت منفی ہے۔ یوں جس لمحہ پر ساکن اور گھومتے لچھوں کے مقناطیسی بہاؤ کے بیچ زاویہ مثبت ہو، اس لمحہ پر ان لچھوں کے بیچ قوت مروڑ منفی ہو گا۔ قوت مروڑ دونوں مقناطیسی بہاؤ کو ایک رخ میں رکھنے کی کوشش کرتا ہے۔



شکل 5.29: لچھوں کے قطبین۔

## 5.7.2 میکانی قوت مروڑ بذریعہ مقناطیسی بہاؤ

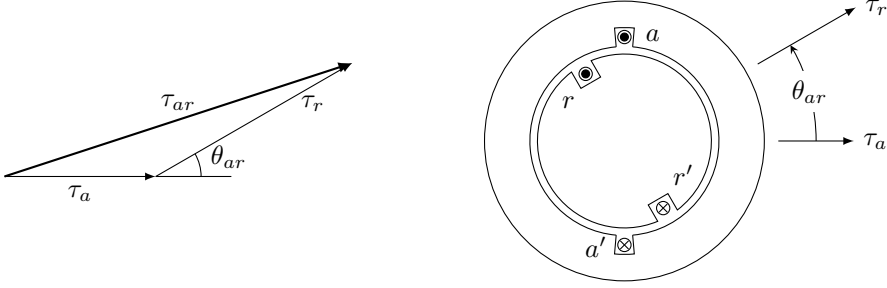
شکل 5.29-ا میں دو قطبی یک دوری مشین کے صرف گھومتے لچھے میں برقی رو پایا جاتا ہے۔ مشین کا گھومتا حصہ ایک مقناطیس کی مانند ہے جس کے شمالی اور جنوبی قطبین دکھائے گئے ہیں۔ اس لچھے کا مقناطیسی بہاؤ تیر کے نشان سے دکھایا گیا ہے لہذا تیر اس مقناطیس کے محور کو ظاہر کرتا ہے۔

شکل 5.29-ب میں صرف ساکن لچھے میں برقی رو پایا جاتا ہے۔ ساکن حصہ سے مقناطیسی بہاؤ خارج ہو کر خلائی درز سے ہوتا ہوا گھومتے حصہ میں داخل ہوتا ہے لہذا یہی اس کا شمالی قطب ہو گا۔ یہاں ساکن حصہ ایک مقناطیس مانند ہے جس کا محور تیر سے ظاہر کیا گیا ہے۔

اگرچہ شکل 5.29 میں کچھ لچھے دکھائے گئے ہیں، درحقیقت دونوں لچھوں کے مقناطیسی دباؤ سائن-نما ہوں گے اور تیر کے نشانات ان مقناطیسی دباؤ کی امواج کی چوٹیوں کو ظاہر کریں گے۔

شکل 5.30 میں دونوں لچھوں کو برقی رو فراہم کیا گیا ہے۔ دونوں لچھوں کے مخالف قطبین کے بیچ قوت کشش پائی جائے گی جس کی بنا دونوں لچھے ہم رخ ہونے کی کوشش کریں گے۔

واضح رہے کہ دونوں لچھے (مقناطیس) کوشش کریں گے کہ  $\theta_{ar}$  صفر کے برابر ہو یعنی ان کا میکانی قوت مروڑ  $\theta_{ar}$  کے مخالف رخ ہو گا۔ یہی مساوات 5.85 کہتی ہے۔



شکل 5.30: خلائی درز میں مجموعی مقناطیسی دباؤ۔

پچھوں کے مقناطیسی دباؤ کو مقناطیسی محور کے رخ  $\tau_a$  اور  $\tau_r$  سے ظاہر کیا گیا ہے جہاں  $\tau_a$  اور  $\tau_r$  سائن نما مقناطیسی دباؤ کی چوٹیوں کے برابر ہیں۔ خلائی درز میں کل مقناطیسی دباؤ  $\tau_{ar}$  ان کا مجموعہ ہو گا جس کا طول  $\tau_{ar}$  کلیہ کو سائن<sup>47</sup> سے حاصل ہو گا:

$$\begin{aligned} \tau_{ar}^2 &= \tau_a^2 + \tau_r^2 - 2\tau_a\tau_r \cos(180^\circ - \theta_{ar}) \\ (5.86) \quad &= \tau_a^2 + \tau_r^2 + 2\tau_a\tau_r \cos \theta_{ar} \end{aligned}$$

خلائی درز میں کل مقناطیسی دباؤ  $\tau_{ar}$  درج ذیل مقناطیسی شدت  $H_{ar}$  پیدا کرے گا جہاں  $l_g$  کلائی درز کی لمبائی ہے۔

$$(5.87) \quad \tau_{ar} = H_{ar} l_g$$

$H_{ar}$  مقناطیسی شدت کی چوٹی کو ظاہر کرتا ہے۔ خلاء میں جس مقام پر مقناطیسی شدت  $H$  ہو وہاں مقناطیسی ہم-توانائی کی کثافت  $\frac{\mu_0}{2} H^2$  ہوتی ہے۔ خلائی درز میں اوسط ہم-توانائی کی کثافت، درز میں  $H^2$  کی اوسط کو  $\frac{\mu_0}{2}$  سے ضرب کر کے حاصل ہو گا۔ کسی بھی سائن نما موج  $H = H_0 \cos \theta$  کے  $H^2$  کا اوسط  $H_{\text{avg}}^2$  حاصل کرتے ہیں:

$$\begin{aligned} H_{\text{avg}}^2 &= \frac{1}{\pi} \int_{-\frac{\pi}{2}}^{+\frac{\pi}{2}} H^2 d\theta = \frac{1}{\pi} \int_{-\frac{\pi}{2}}^{+\frac{\pi}{2}} H_0^2 \cos^2 \theta d\theta \\ (5.88) \quad &= \frac{H_0^2}{\pi} \int_{-\frac{\pi}{2}}^{+\frac{\pi}{2}} \frac{1 + \cos 2\theta}{2} d\theta = \frac{H_0^2}{\pi} \left[ \theta + \frac{\sin 2\theta}{2} \right]_{-\frac{\pi}{2}}^{+\frac{\pi}{2}} = \frac{H_0^2}{2} \end{aligned}$$

یوں خلائی درز میں اوسط ہم-توانائی کی کثافت  $\frac{\mu_0}{2} \frac{H_{ar}^2}{2}$  ہوگی۔ خلائی درز میں اوسط ہم-توانائی کو خلاء کے حجم سے ضرب کر کے درز میں کل ہم-توانائی  $W'_m$  حاصل ہوگی:

$$(5.89) \quad W'_m = \frac{\mu_0}{2} \frac{H_{ar}^2}{2} 2\pi r l_g l = \frac{\mu_0 \pi r l}{2 l_g} \tau_{ar}^2$$

اس مساوات میں خلائی درز کی رداسی لمبائی  $l_g$  اور دھرے<sup>48</sup> کے رخ محوری لمبائی<sup>49</sup>  $l$  ہے۔ محور سے خلائی درز کا اوسط رداسی فاصلہ  $r$  ہے۔ مزید  $l_g \gg r$  تصور کیا گیا ہے جس کی بنا درز میں رداسی رخ، کثافت مقناطیسی بہاو کی تبدیلی نظر انداز کی جاسکتی ہے۔ اس مساوات کو ہم مساوات 5.86 کی مدد سے درج ذیل لکھ سکتے ہیں۔

$$(5.90) \quad W'_m = \frac{\mu_0 \pi r l}{2 l_g} (\tau_a^2 + \tau_r^2 + 2\tau_a \tau_r \cos \theta_{ar})$$

یوں میکانی قوت مروڑ درج ذیل ہوگا۔

$$(5.91) \quad T_m = \frac{\partial W'_m}{\partial \theta_{ar}} = -\frac{\mu_0 \pi r l}{l_g} \tau_a \tau_r \sin \theta_{ar}$$

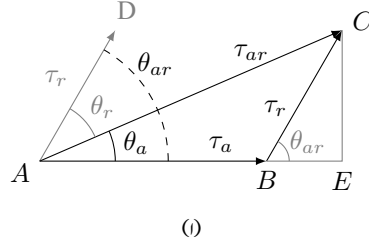
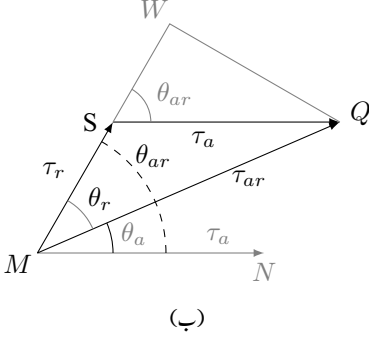
مساوات 5.91 میں قوت مروڑ دو قطبی مشین کے لئے حاصل کی گئی۔  $P$  قطبی مشین کے لئے یہ مساوات ہر جوڑی قطب کی میکانی قوت مروڑ دیتی ہے لہذا  $P$  قطبی مشین کی قوت مروڑ  $\frac{P}{2}$  گنا ہوگی:

$$(5.92) \quad T_m = -\frac{P}{2} \frac{\mu_0 \pi r l}{l_g} \tau_a \tau_r \sin \theta_{ar}$$

مساوات 5.92 ایک اہم مساوات ہے جس کے مطابق مشین کی میکانی قوت مروڑ، ساکن اور گھومتے لچھوں کے مقناطیسی دباؤ کی چوٹیوں اور دونوں کے بیچ برقی زاویہ  $\theta_{ar}$  کے سائن کی راست تناسب ہوگی۔ منفی میکانی قوت مروڑ کا مطلب ہے کہ یہ زاویہ  $\theta_{ar}$  کے مخالف رخ ہوگی یعنی میکانی قوت مروڑ اس زاویہ کو کم کرنے کی کوشش کرے گی۔ مشین کے ساکن اور گھومتے حصوں پر ایک دوسرے کے برابر لیکن مخالف رخ میکانی قوت مروڑ ہوگی البتہ ساکن حصے کی قوت مروڑ مشین کے وجود کے ذریعہ زمین تک منتقل ہوگی جبکہ گھومتے حصے کی میکانی قوت مروڑ اس حصہ کو متحرک کرتی ہے۔

چونکہ مقناطیسی دباؤ لچھے کے برقی رو کا راست تناسب ہے لہذا  $\tau_a$  اور  $i_a$  آپس میں راست تناسب ہوں گے جبکہ  $\tau_r$  اور  $i_r$  آپس میں راست تناسب ہوں گے۔ یوں ظاہر ہوتا ہے کہ مساوات 5.85 اور 5.92 ایک دوسرے جیسے ہیں۔ درحقیقت یہ ثابت کیا جاسکتا ہے کہ یہ دونوں بالکل ایک جیسے ہیں۔





شکل 5.31: مقناطیسی بہاؤ اور ان کے زاویے۔

شکل 5.31 میں دوبارہ ساکن اور گھومتے لچھوں کے مقناطیسی دباؤ دکھائے گئے ہیں۔ شکل-ا کی ٹکون  $\triangle AEC$  اور  $\triangle BEC$  میں  $CE$  مشترک ہے جو درج ذیل ہو گا۔

$$(5.93) \quad CE = \tau_r \sin \theta_{ar} = \tau_{ar} \sin \theta_a$$

اس مساوات کی مدد سے مساوات 5.92 کو درج ذیل لکھا جا سکتا ہے۔

$$(5.94) \quad T_m = -\frac{P}{2} \frac{\mu_0 \pi r l}{l_g} \tau_a \tau_{ar} \sin \theta_a$$

اسی طرح شکل 5.31-ب کی ٹکون  $\triangle MWQ$  اور ٹکون  $\triangle SWQ$  میں  $WQ$  مشترک ہے جو درج ذیل ہو گا۔

$$(5.95) \quad WQ = \tau_a \sin \theta_{ar} = \tau_{ar} \sin \theta_r$$

اس مساوات کی مدد سے مساوات 5.92 کو درج ذیل لکھا جا سکتا ہے۔

$$(5.96) \quad T_m = -\frac{P}{2} \frac{\mu_0 \pi r l}{l_g} \tau_r \tau_{ar} \sin \theta_r$$

مساوات 5.92، مساوات 5.94 اور مساوات 5.96 کو ایک ساتھ لکھتے ہیں۔

$$(5.97) \quad T_m = -\frac{P}{2} \frac{\mu_0 \pi r l}{l_g} \tau_a \tau_r \sin \theta_{ar}$$

$$T_m = -\frac{P}{2} \frac{\mu_0 \pi r l}{l_g} \tau_a \tau_{ar} \sin \theta_a$$

$$T_m = -\frac{P}{2} \frac{\mu_0 \pi r l}{l_g} \tau_r \tau_{ar} \sin \theta_r$$

ان مساوات سے واضح ہے کہ میکائی قوت مروڑ کو دونوں لچھوں کے مقناطیسی دباؤ اور ان کے بیچ زاویہ کی صورت میں، یا کسی ایک لچھے کے مقناطیسی دباؤ، کل مقناطیسی دباؤ اور ان کے بیچ زاویہ کی صورت میں لکھا جاسکتا ہے۔

اس بات کو یوں بیان کیا جاسکتا ہے کہ میکائی قوت مروڑ دو مقناطیسی دباؤ کی آپس میں رد عمل کی وجہ سے پیدا اور مقناطیسی دباؤ کی چوٹیوں اور ان کے بیچ زاویہ پر منحصر ہوتا ہے۔

مقناطیسی دباؤ، مقناطیسی شدت، کثافت مقناطیسی بہاؤ اور مقناطیسی بہاؤ آپس میں تعلق رکھتے ہیں جنہیں مختلف طریقوں سے لکھا جاسکتا ہے۔ مثلاً خلائی درز میں کل مقناطیسی دباؤ  $\tau_{ar}$  اور درز میں کثافت مقناطیسی بہاؤ  $B_{ar}$  کا تعلق

$$(5.98) \quad B_{ar} = \frac{\mu_0 \tau_{ar}}{l_g}$$

استعمال کر کے مساوات 5.97 کے آخری جزو کو درج ذیل لکھا جاسکتا ہے۔

$$(5.99) \quad T_m = -\frac{P}{2} \pi r l \tau_r B_{ar} \sin \theta_r$$

مقناطیسی مشینوں کی قالبی مقناطیسی مستقل  $\mu$  کی محدود قیمت کی بنا قالب میں کثافت مقناطیسی بہاؤ تقریباً ایک ٹیلا تک ہی بڑھائی جاسکتی ہے۔ مشین کی بناوٹ کے وقت اس حد کو مد نظر رکھنا ہو گا۔ اسی طرح گھومتے لچھے کا مقناطیسی دباؤ اس لچھے میں برقی رو پر منحصر ہوتا ہے۔ اس برقی رو سے لچھے کی مزاحمت میں برقی توانائی ضائع ہوتی ہے جس سے لچھا گرم ہوتا ہے۔ برقی رو کو اس حد تک بڑھایا جاسکتا ہے جہاں تک لچھے کو ٹھنڈا رکھنا ممکن ہو۔ یوں مقناطیسی دباؤ کو ایک حد سے نیچے رکھنا ہو گا۔ مساوات 5.99 میں  $B_{ar}$  اور  $\tau_r$  دونوں صریحاً موجود ہیں لہذا مشین کی بناوٹ کے نقطہ نظر سے یہ ایک اہم مساوات ہے۔

مساوات 5.99 کی دوسری اہم صورت دیکھتے ہیں۔ قطب پر اوسط کثافت مقناطیسی بہاؤ  $B_{اوسط}$  اور قطب کے رقبہ  $A_P$

$$(5.100) \quad B_{اوسط} = \frac{1}{\pi} \int_{-\frac{\pi}{2}}^{+\frac{\pi}{2}} B_0 \cos \theta d\theta = \frac{2B_0}{\pi}$$

$$(5.101) \quad A_P = \frac{2\pi r l}{P}$$

کا حاصل ضرب قطب پر مقناطیسی بہاؤ  $\phi_P$  ہوتا ہے لہذا

$$(5.102) \quad \phi_P = \frac{2B_0}{\pi} \frac{2\pi r l}{P}$$

اور

$$(5.103) \quad T_m = -\frac{\pi}{2} \left( \frac{P}{2} \right)^2 \phi_{ar} \tau_r \sin \theta_r$$

ہوں گے۔ مساوات 5.103 معاصر مشینوں کے لئے بہت کارآمد ہے۔

- earth, 95
- eddy current loss, 62
- eddy currents, 61, 130
- electric field
  - intensity, 10
- electrical rating, 59
- electromagnet, 135
- electromotive force, 61, 142
- electronics
  - power, 211
- emf, 142
- enamel, 62
- energy, 44
  - co, 115
- Euler, 20
- excitation current, 52, 60, 61
- excitation voltage, 61
- excite, 61
- excited coil, 61
  
- Faraday's law, 38, 129
- field coil, 135, 255
- flux, 30
- Fourier series, 63, 146
- frequency, 134
- fundamental, 147
- fundamental component, 64
  
- generator
  - ac, 164
- ground current, 95
- ground wire, 95
  
- ampere-turn, 33
- armature coil, 135, 255
  
- capacitor, 199
- carbon bush, 181
- cartesian system, 4
- charge, 10, 141
- circuit breaker, 183
- coercivity, 46
- coil
  - high voltage, 56
  - low voltage, 56
  - primary, 55
  - secondary, 55
- commutator, 169, 245
- conductivity, 25
- conservative field, 111
- core, 55, 130
- core loss, 62
- core loss component, 64
- Coulomb's law, 10
- cross product, 13
- cross section, 9
- current
  - transformation, 66
- cylindrical coordinates, 5
  
- delta connected, 94
- differentiation, 18
- dot product, 15
  
- E,I, 62

Ohm's law, 26  
 open circuit test, 87  
 orthonormal, 3  
  
 parallel connected, 258  
 permeability, 26  
     relative, 26  
 phase current, 95  
 phase difference, 22  
 phase voltage, 95  
 phasor, 21  
 pole  
     non-salient, 144  
     salient, 144  
 power, 44  
 power factor, 22  
     lagging, 22  
     leading, 22  
 power factor angle, 22  
 power-angle law, 192  
 primary  
     side, 55  
  
 rating, 97, 98  
 rectifier, 169  
 relative permeability, 26  
 relay, 103  
 reluctance, 25  
 residual magnetic flux, 46  
 resistance, 25  
 rms, 19, 50, 169  
 rotor, 37  
 rotor coil, 106  
 rpm, 161  
  
 saturation, 47  
 scalar, 1  
 self excited, 255  
 self flux linkage, 43  
 self inductance, 43  
 separately excited, 255  
 side

harmonic, 147  
 harmonic components, 64  
 Henry, 40  
 hunting, 182  
 hysteresis loop, 47  
  
 impedance transformation, 71  
 induced voltage, 38, 50, 61  
 inductance, 40  
     leakage, 187  
 induction  
     motor, 211  
  
 Joule, 44  
  
 lagging, 22  
 laminations, 31, 62, 130  
 leading, 22  
 leakage inductance, 79  
 leakage reactance, 79  
 line current, 95  
 line voltage, 95  
 linear circuit, 230  
 load, 99  
 Lorentz law, 141  
 Lorenz equation, 104  
  
 magnetic constant, 26  
 magnetic core, 31  
 magnetic field  
     intensity, 11, 33  
 magnetic flux  
     density, 33  
     leakage, 79  
 magnetizing current, 64  
 mmf, 30  
 model, 81, 211  
 mutual flux linkage, 43  
 mutual inductance, 43  
  
 name plate, 98  
 non-salient poles, 181

transformer  
     air core, 59  
     communication, 59  
     ideal, 65  
     oil, 77  
 transient state, 179

unit vector, 2

VA, 76

vector, 2

volt, 141

volt-ampere, 76

voltage, 141

    DC, 169

    transformation, 65

Watt, 44

Weber, 33

winding

    distributed, 144

winding factor, 152

    secondary, 55

single phase, 23, 59

slip, 213

slip rings, 180, 233

squirrel cage, 236

star connected, 94

stator, 37

stator coil, 106, 131

steady state, 179

step down transformer, 58

step up transformer, 58

surface density, 11

synchronous, 134

synchronous inductance, 188

synchronous speed, 160, 161, 180

Tesla, 33

theorem

    maximum power transfer, 233

Thevenin theorem, 230

three phase, 59, 93

time period, 101, 146

torque, 170, 213

    pull out, 182

بھنور نما برقی رو، 130  
بے بوجھ، 60

پتری، 130، 31  
پتریاں، 62  
پیش زاویہ، 22

تاخیری، 80  
تاخیری زاویہ، 22  
تار کا برقی دباؤ، 95  
تار کا برقی رو، 95  
تانا، 28  
تبادلہ

رکاوٹ، 71  
تنجی، 98  
تعدد، 134  
تعقب، 182  
تفرق، 18  
جزوی، 18  
تکونی جوڑ، 94  
توانائی، 44

ہمہ، 115  
تین دوری، 93، 59

ٹرانسفارمر

برقی دباؤ والا، 59  
بوجھ بردار، 68  
تیل، 77  
خلائی قالب، 59  
دباؤ بڑھاتا، 58  
دباؤ گھٹاتا، 58  
ذرائع ابلاغ، 59  
رووالا، 59  
کامل، 65

ٹسلا، 33

ٹھنڈی تار، 95

ثانوی جانب، 55

چاول، 44

جزو

پھیلاؤ، 152

ابتدائی

جانب، 55  
لچھا، 55

ارتباط بہاؤ، 39

اضافی

زاویائی رفتار، 216

اکائی سمتیہ، 2

امالہ، 40

رستا، 187

امالی

برقی دباؤ، 50

امالی برقی دباؤ، 61، 38

ایک، تین پتریاں، 62

ایمپیسر۔ چکر، 33

بار، 141

برقرار چالو، 179، 101

برقی گھیر، 199

برقیات

قوی، 211

برقی بار، 141، 10

برقی دباؤ، 141، 28

تبادلہ، 65، 56

محرک، 142

پہچانی، 189

یک سمت، 169

برقی رو، 28

بھنور نما، 130

تبادلہ، 66

پہچان انگیز، 52

برقی سکت، 59

برقی میدان، 10

شدت، 28، 10

بش، 181

بناوٹ، 87

بنیادی جزو، 147، 64

بوجھ، 99

بھتی، 117

بھنور نما

برقی رو، 61

ضیاع، 62

- جزو طاقت، 22  
پیش، 22  
تاخیری، 22  
جزیر  
بدلتارو، 164  
جوڑ  
تکوئی، 94  
ستارہ نما، 94  
چکر فی منٹ، 130  
چوٹی، 215  
حال  
عارضی، 179  
یکساں، 179  
خطی  
برقی دور، 230  
خودار تباط بہاد، 43  
خودامالہ، 43  
داخلی ہیجان  
سلسلہ وار، 258  
متوازی، 258  
مرکب، 258  
دور جزا مرکب، 258  
دور شکن، 183  
دوری سمتیہ، 190، 21  
دوری عرصہ، 146، 101  
رستا  
امالہ، 79  
متعاملہ، 79  
رستا متعاملیت، 221  
رفقار  
اضافی زوایائی، 216  
روغن، 62  
روک، 232  
ریاضی نمونہ، 211، 81  
رسلے، 103  
زاویائی فرق، 22  
زاویہ جزو طاقت، 22  
زمین، 95  
زمینی برقی رو، 95  
زمینی تار، 95  
ساکن حصہ، 37  
ساکن لچھا، 106، 131  
ستارہ نما جوڑ، 94  
سرکاو، 213  
سرک چھلے، 180، 233  
سطحی عمل، 185  
سطحی کثافت، 11  
سکت، 97، 98  
سلسلہ وار، 150  
سمت کار، 245  
برقیاتی، 169  
میکانی، 169  
سمتیہ، 2  
عمودی اکائی، 3  
سمتی رفتار، 104  
سیرابیت، 47  
ضرب  
نقطہ، 15  
ضرب صلیبی، 13  
طاقت، 44  
طاقت بالمتقابل زاویہ، 192  
طول موج، 18  
عمودی تراش، 9  
رقبہ، 9  
غیر سمتی، 1  
غیر معاصر، 182  
فوریز، 254  
فوریز سلسل، 63، 146  
فیراڈے  
قانون، 38، 129  
قالب، 130



- قالبی ضیاع، 62  
جزو، 64  
قانون  
اوہم، 26  
کولمب، 10  
لورینز، 141  
قدامت پسند میدان، 111  
قریب بڑا مرکب، 258  
قطب  
ایہرے، 181، 144  
ہموار، 181، 144  
قوت مروڑ، 170، 213  
انتہائی، 182  
قوی برقیات، 245  
قوی لچھے، 255  
کاربن بش، 181  
کارگزاری، 204  
کشافت  
برقی رو، 28  
کشافت مقناطیسی بہاو  
بقایا، 46  
کسر دور، 39  
گرم ہمار، 95  
گھومتا حصہ، 37  
گھومتا لچھا، 106  
لچھا  
ابتدائی، 55  
پھیلے، 144  
پتھچدار، 41  
ثانوی، 55  
رخ، 137  
زیادہ برقی دباؤ، 56  
ساکن، 106  
قوی، 135  
کم برقی دباؤ، 56  
گھومتا، 106  
میدانی، 135  
محدود  
کار تیشی، 4  
تکلی، 5  
محرک برقی دباؤ، 61  
مجوری  
لمبائی، 166  
مخلوط عدد، 196  
مرکب جزئیہ، 258  
مزاحمت، 25  
مزاحمت پتیا، 241  
مساوات لورینز، 104  
مسئلہ  
تھونن، 230  
زیادہ سے زیادہ طاقت کی منتقلی، 233  
مشیر کہ ارتباط امالہ، 43  
مشیر کہ امالہ، 43  
معاصر، 134  
مشین، 180  
معاصر امالہ، 188  
معاصر رفتار، 180، 161، 160  
معائنہ  
کھلا دور، 87  
مقناطیس  
برقی، 135  
چال کا دائرہ، 47  
خاتم شدت، 46  
مقناطیسی برقی رو، 64  
مقناطیسی بہاو، 30  
رستا، 79  
کشافت، 33  
مقناطیسی چال، 52  
مقناطیسی دباؤ، 30  
رخ، 146  
مقناطیسی قالب، 31، 55  
مقناطیسی مستقل، 26، 171  
جزو، 26، 31  
مقناطیسی میدان  
شدت، 11، 33  
موٹر  
امالی، 211

ہیجان انگیز  
برقی دباؤ، 61  
برقی رو، 61  
ہیجان انگیز برقی رو، 60  
ہیجانی برقی دباؤ، 189  
یک دوری، 23، 59  
یک دوری برقی دباؤ، 95  
یک دوری برقی رو، 95  
یک سمت رو  
مشین، 245  
یو لرمساوات، 20

پنجرہ نما، 236  
موثر، 19، 50  
موثر قیمت، 169  
موسیقیائی جزو، 64، 147  
موصلیت، 25  
میدانی لچھے، 255  
واٹ، 44  
وولٹ، 141  
وولٹ-ایمپیئر، 76  
ویبر، 33  
ویبر-پیکر، 39  
ہیچکاپ ہٹ، 25، 30  
ہیجان، 61  
بیرونی، 255  
خود، 255  
لچھا، 61